

R42



VAKGROEP
WATERBOUWKUND
Afd. Civiele Techniek
TH Delft

GELDIGHEIDSGBIEDEN

VAN ENIGE

SEDIMENTTRANSPORT FORMULES

BIJLAGEN

Technische Universiteit Delft
Faculteit der Civiele Techniek
Vakgroep Waterbouwkunde, k. 2.91
Stevinweg 1
2628 CN DELFT

Dock & Harbour Authority

p. 3-91

Contents

*... description of the bentonite wall method used at the
... complex at Bandar Abbas in Iran by Italcontractors*

*... original design of armour block for breakwaters and other
... structures developed by Sogreah Consulting Engineers*

*... of a three part article examines development in Saudi
... Yemen and Oman following huge investment in the area*

*... fakkan, a container port in the United Arab Emirates,
... gically positioned to handle trade for Iran and India*

*... to improve dredging equipment led to the development of
... er wheels with advantages over the crown wheel cutter*

12-4419

Lance Sucharov, B.Sc., M.Sc. (Mech. Eng.)

Phone: 01-402 5237

01-724 3520

Sales Manager: Trevor Miles

Phone: 01-402 5238

Sales Representative

Benelux Countries:

World Teasing B.V.,

Pulperstraat 17,

Amsterdam, The Netherlands.

Phone: Amsterdam 26 36 15

13133

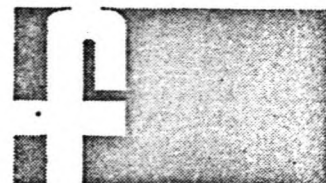
£1.00 per copy Annual subscription, including postage, £15 U.S. and Canada, \$30.00

can be sent airmail: rates on application. An independent journal circulating to port executives,

owners, consultants, contractors and shipowners in over 100 countries Published monthly

by Foxlow Publications Ltd., 19 Harcourt Street, London, W1H 2AX Subscriptions 01-723 1486

- 289 Editorial
- 290 New port complex at Bandar Abbas
By C Beradi and F R Kalff
- 295 The Accropode
- 297 Arab port development 1
By R P Rowe
- 302 Khor Fakkan
By H Rogers
- 304 Dredging wheels
By Dag Pike
- 305 Letter to the Editor
- 306 Book Reviews
- 307 World Port News
- 310 World Construction and Dredging
- 313 Port Equipment and Services
- 316 Marine Craft
- 319 Transport News
- 321 People, Ports and Places
- 324 Fifty Years Ago
- 325 Company News and Appointments
- 326 Diary



A Foxlow Publication

Technische Universiteit Delft
Faculteit der Civiele Techniek
Vakgroep Waterbouwkunde, k. 2.91
Stroomweg 1
2628 CN DELFT

GELDIGHEIDSGEBIEDEN
VAN ENIGE
SEDIMENTTRANSPORT FORMULES

BIJLAGEN

Delft, juni 1978

R. Langen

I Berekening van de verschijningsvormen van de onderzochte formules.

I.1 Transformatie van de, door de auteurs gehanteerde verschijningsvormen naar de algemene verschijningsvormen.

I.1.-1 Englund Hansen.

Englund Hansen schrijven hun formule als.

$$f \Phi = 0,1 \Theta^{5/2}$$

waarin $f = \frac{2g}{c^2}$

$$\Phi = T / \sqrt{g \Delta D^3}$$

$$\Theta = h \Delta / \Delta D$$

De algemene verschijningsvorm is dan te schrijven als:

$$\frac{2g}{c^2} \frac{T}{\sqrt{g \Delta D^3}} = 0,1 \left(\frac{h \Delta}{\Delta D} \right)^{5/2}$$

$$\text{of } \frac{T}{\sqrt{g \Delta D^3}} = 0,1 \frac{c^2}{2g} \left(\frac{h \Delta}{\Delta D} \right)^{5/2}$$

(I.1.-1)

I.1.-2 Meyer Peter en Müller.

Meyer Peter en Müller gaan uit van:

$$jw \frac{Q_b}{Q} \left(\frac{h_b}{h_b'} \right)^{3/2} \frac{h_b'}{D} = A j\omega'' + B \left(\frac{jw}{g} \right)^{1/3} \frac{(g\omega'')^{2/3}}{D} \quad (\text{I.1.-2})$$

waarin $\frac{Q_b}{Q} \cdot h_b = R_b$

$$\frac{h_b}{h_b'} = \frac{C_b}{C_b'}$$

$$j\omega'' = j\omega - jw.$$

zodat vergelijking (I.1.-2) te schrijven is als:

$$\frac{jw}{j\omega - jw} \left(\frac{C_b'}{C_b} \right)^{3/2} \frac{R_b'}{D} = A + B \left(\frac{jw}{g} \right)^{1/3} \cdot \frac{1}{j\omega - jw} \frac{(g\omega'')^{2/3}}{D} \quad (\text{I.1.-3})$$

stel $F = \left(\frac{jw}{g} \right)^{1/3} \cdot \frac{1}{j\omega - jw} \frac{(g\omega'')^{2/3}}{D}$

dan is te schrijven: $F = \left(g \frac{jw}{j\omega - jw} \right)^{1/3} \cdot \frac{(g\omega'')^{2/3}}{D}$

er geldt: $\frac{g\omega''}{j\omega - jw} = T$

$$\frac{j\omega - jw}{jw} = \Delta$$

zodat: $F = \left(\frac{1}{g\Delta} \right)^{1/3} \cdot \frac{T^{2/3}}{D} = \left(\frac{T}{\sqrt{g\Delta^3}} \right)^{2/3}$

De algemene vorm is dus te schrijven als:

$$\frac{\left(\frac{c'}{c}\right)^3 R_{b.}] }{\Delta D} = A + B \left(\frac{T}{\sqrt{g \Delta D^3}} \right)^{\frac{2}{3}} \quad (\text{I.1.-4})$$

$$\text{of: } \frac{T}{\sqrt{g \Delta D^3}} = \left(\frac{1}{B} \right)^{\frac{3}{2}} \left(\frac{\left(\frac{c'}{c}\right)^3 R_{b.}] }{\Delta D} - A \right)^{\frac{3}{2}} \quad (\text{I.1.-5})$$

$$\text{met } \left(\frac{1}{B} \right)^{\frac{3}{2}} = 8$$

$$A = 0,047.$$

I.1.-3 Rottner

Rottner gaat uit van:

$$\frac{q}{\rho' \sqrt{gsk}^3} = \left\{ A \frac{v}{\sqrt{gsk}} - B \right\}^3 \quad (\text{I.1.-6})$$

waarin:

$$A = 0,667 \left(\frac{D}{L} \right)^{2/3} + 0,14$$

$$B = 0,778 \left(\frac{D}{L} \right)^{2/3}$$

$$\frac{q}{\rho'} = T$$

er kan nu geschreven worden:

$$\frac{T}{\sqrt{g \cdot D^3}} \cdot \sqrt{\frac{D^3}{L^3}} = \left\{ A \frac{v}{\sqrt{g \cdot D}} \cdot \frac{\sqrt{D}}{\sqrt{L}} - B \right\}^3$$

$$\text{ofwel } \frac{T}{\sqrt{g \cdot D^3}} = \left\{ A \sqrt{\frac{D}{L}} \sqrt{\frac{L}{D}} \frac{v}{\sqrt{g \cdot D}} - B \sqrt{\frac{L}{D}} \right\}^3$$

de algemene vorm is dan te schrijven als:

$$\frac{T}{\sqrt{g \cdot D^3}} = \left\{ A' \frac{v}{\sqrt{g}} \frac{L}{D} - B' \right\}^3 \quad (\text{I.1.7})$$

waarin

$$A' = 0,667 \left(\frac{D}{L} \right)^{2/3} + 0,14$$

$$B' = 0,778 \left(\frac{D}{L} \right)^{1/6}$$

I.1.-4 Achters en White.

Achters en White geven hun formule als:

$$G = \frac{X h}{(\Delta + \theta) D} \left(\frac{v_x}{v} \right)^n \quad (\text{I.1.8})$$

waarin $X = \frac{\rho \Delta g T}{\rho \theta g} \quad (\text{I.1.9})$

$$G = C_A \left(\frac{F}{A} - 1 \right)^m \quad (\text{I.1.10}).$$

Substitutie van (I.1.9) en (I.1.10) in (I.1.8) levert.

$$\frac{T}{Q} = \frac{C_A \left(\frac{F}{A} - 1 \right)^m}{h} \cdot D \left(\frac{v}{v_x} \right)^n \quad (\text{I.1.11})$$

waarin $F = \frac{v_x^2}{\sqrt{g \Delta D}} \left(\frac{v}{c \sqrt{g}} \right)^{1-n} \quad (\text{I.1.12})$

Substitutie van (I.1.12) in (I.1.11) levert.

$$\frac{T}{Q} = \frac{C_A}{h} \left\{ \frac{v_x^2}{\sqrt{g \Delta D}} \left(\frac{c}{c'} \frac{v_x}{v} \right)^{1-n} - 1 \right\}^m \cdot D \left(\frac{c}{\sqrt{g}} \right)^n \quad (\text{I.1.13})$$

of $\frac{T}{\sqrt{g \Delta D^3}} = \frac{C_A}{A^m} \cdot \left(\frac{c}{\sqrt{g}} \right)^{n+1} \frac{v_x}{\sqrt{g \Delta D}} \left\{ \left(\frac{c}{c'} \right)^{1-n} \frac{v_x}{\sqrt{g \Delta D}} - A \right\}^m$

De algemene vorm wordt dan:

$$\frac{T}{\sqrt{g \Delta D^3}} = \frac{C_A}{A^m} \cdot \left(\frac{C}{\sqrt{g}} \right)^{n+1} \cdot \frac{h \Delta}{\Delta D} \left\{ \left(\frac{C}{C'} \right)^{1-n} \frac{h \Delta}{\Delta D} - A \right\}^m.$$

waarin C_A, A, m en n variëren, afhankelijk van de dimensionelose diameter $D_{gr} = D \left(\frac{g \Delta}{v^2} \right)^{\frac{1}{3}}$.

I.1-5 Overzicht van de algemene verschijningsvormen.

$$E.H.: \frac{T}{V_{gs} D} = 0,05 \left\{ \left(\frac{C}{C_i} \right)^{\frac{5}{2}} \frac{R_i}{\Delta D} \right\}^{\frac{5}{2}}$$

$$MPM: \frac{T}{V_{gs} D} = 8 \left\{ \left(\frac{C}{C_i} \right)^{\frac{3}{2}} \frac{R_i}{\Delta D} - 0,047 \right\}^{\frac{3}{2}}$$

MPM modificaties:

$$\frac{T}{V_{gs} D} = \frac{1}{B^\alpha} \left\{ \left(\frac{C}{C_i} \right)^{\frac{\alpha}{2}} \frac{R_i}{\Delta D} - A \right\}^\alpha$$

1^e modificatie : A = 0,03
 B = 0,15
 α = 2.

2^e modificatie A = f(D₅₀) zie fig.
 B = f(D₅₀) zie fig.
 α = 3/2.

3^e modificatie A = f(D₅₀) zie fig.
 B = f(D₅₀) zie fig.
 α = 2.

Rothner: $\frac{T}{V_{gs} D_{50}^3} = \left[A \frac{C}{V_{gs}} \left(\frac{R_i}{\Delta D} \right)^{\frac{1}{2}} - B \right]^3$ met $A = \frac{2}{3} \left(\frac{d}{L} \right)^{\frac{2}{3}} + 0,14$
 $B = 0,778 \left(\frac{d}{L} \right)^{\frac{2}{3}}$

A.w. $\frac{T}{V_{gs} D_{50}^3} = \frac{C_n}{A^m} \left(\frac{C}{V_{gs}} \right)^{m+1} \left(\frac{R_i}{\Delta D} \right) \left\{ \left(\frac{R_i}{\Delta D} \right)^{\frac{1}{2}} \left(\frac{C}{C_i} \right)^{1-\alpha} - A \right\}^m$

$D_{gr} = D_{50} \left(\frac{q_0}{V_{gs}} \right)^{\frac{1}{3}}$
 A, C_n, m en n zijn een functie van D_{gr}.

I.2 Verschijnings vorm volgens $X = f(Y)$

$$\text{waarin } Y = \frac{\Delta D}{u \Delta t}$$

$$X = \sqrt[3]{g \Delta D^3}$$

: Hierbij wordt uitgegaan v.d. alg. verschijnings vorm

$$\text{EH : } \sqrt[3]{\frac{I}{g \Delta D^3}} = 0,05 \left\{ \left(\frac{C^2}{g} \right)^{\frac{2}{5}} \frac{R \Delta}{\Delta D} \right\}^{\frac{5}{2}}$$

$$\text{dit wordt dan : } X = 0,05 Y^{-\frac{5}{2}}$$

$$\text{waarin } u = \left(\frac{C^2}{g} \right)^{\frac{2}{5}}$$

MPM + modificaties :

$$\sqrt[3]{\frac{I}{g \Delta D^3}} = \left(\frac{1}{B} \right)^{\frac{1}{\alpha}} \left\{ \left(\frac{C}{C^*} \right)^{\frac{2}{5}} \frac{R \Delta}{\Delta D} - A \right\}^{\frac{1}{\alpha}}$$

$$\text{wordt dan : } X = \left(\frac{1}{B} \right)^{\frac{1}{\alpha}} \left\{ Y^{-1} - A \right\}^{\frac{1}{\alpha}}$$

$$\text{met } u = \left(\frac{C}{C^*} \right)^{\frac{2}{5}}$$

verg waarin voor MPM geldt : $\left(\frac{1}{B} \right)^{\frac{1}{\alpha}} = 8$

$$A = 0,047$$

$$\alpha^{-1} = \frac{3}{2}$$

$$1^{\text{e}} \text{ mod. : } A = 0,03$$

$$B = 0,15 \cdot \left(\frac{1}{B} \right)^{\frac{1}{\alpha}} = 44,4$$

$$\alpha^{-1} = 2$$

$$2^{\text{e}} \text{ mod. : } A = f(D_{50})$$

$$B = f(D_{50})$$

$$\alpha^{-1} = \frac{3}{2}$$

$$3^{\text{e}} \text{ mod. : } A = f(D_{50})$$

$$B = f(D_{50})$$

$$\alpha^{-1} = 2$$

Rotlner:

$$\frac{T}{Vg\Delta D^3} = \left[A \cdot \frac{c}{\sqrt{g}} \left(\frac{Ri}{\Delta D} \right)^{\frac{1}{2}} - B \right]^3$$

wordt nu: $X = \left[AY^{\frac{1}{2}} - B \right]^3$

met $\mu = \frac{c}{\sqrt{g}}$.

$$A = \frac{2}{3} \left(\frac{d}{z} \right)^{\frac{1}{2}} + 0,14$$

$$B = 0,778 \left(\frac{d}{z} \right)^{\frac{1}{2}}$$

A.W: $\frac{T}{Vg\Delta D^3} = \frac{c^A}{A^m} \left(\frac{c}{\sqrt{g}} \right)^{2m+1} \left(\frac{Ri}{\Delta D} \right) \left\{ \left(\frac{Ri}{\Delta D} \right)^{\frac{1}{2}} \left(\frac{c}{c^i} \right)^{1-2m} - A \right\}^m$

wordt dan: $X = \frac{c^A}{A^m} \left(\frac{c}{\sqrt{g}} \right)^{2m+1} (\mu Y)^{\frac{1}{2}} \left\{ Y^{\frac{1}{2}} - A \right\}^m$

met $\mu = \left(\frac{c}{c^i} \right)^{2-2m}$.

I.3 Verschuivingsvorm volgens $X = f(Y_{v_x}, Y_v, C')$.

$$\text{waarin } Y_{v_x} = \frac{v_x}{\sqrt{g \Delta D}}$$

$$Y_v = \frac{v}{\sqrt{g \Delta D}}$$

$$X = \frac{T}{\sqrt{g \Delta D^3}}$$

$$\text{E.H. alg. versch. vorm: } X = 0,05 \left\{ \left(\frac{C}{g} \right)^{\frac{2}{3}} \frac{R_i}{\Delta D} \right\}^{\frac{5}{2}}$$

$$\text{stel } F = \left(\left(\frac{C}{g} \right)^{\frac{2}{3}} \frac{R_i}{\Delta D} \right)^{\frac{5}{2}} = \frac{C^2 (R_i)^{\frac{5}{2}}}{g^{\frac{5}{2}} (\Delta D)^{\frac{5}{2}}}$$

met Chery $v^2 = C^2 R_i$ of $C^2 = \frac{v^2}{R_i}$ geeft dit.

$$F = \frac{v^2 (R_i)^{\frac{5}{2}}}{g^{\frac{5}{2}} (\Delta D)^{\frac{5}{2}}}$$

$$v_x = \sqrt{g R_i}, \text{ zodat } (R_i)^{\frac{5}{2}} = \frac{v_x^3}{g^{\frac{3}{2}}}$$

$$\text{zodat } F = \frac{v^2}{g} \cdot \frac{v_x^3}{g^{\frac{3}{2}} (\Delta D)^{\frac{5}{2}}} = \frac{v^2 v_x^3}{(g \Delta D)^{\frac{5}{2}}}$$

$$\text{zodat } F = \left(\frac{v}{\sqrt{g \Delta D}} \right)^2 \cdot \left(\frac{v_x}{\sqrt{g \Delta D}} \right)^3 = Y_v^2 Y_{v_x}^3$$

$$\text{dus } X = 0,05 Y_{v_x}^3 Y_v^2$$

MPM : algemene versch. vorm :

$$X = 8 \left\{ \left(\frac{c}{c'} \right)^{\frac{3}{2}} \frac{R \gamma}{\Delta D} - 0,047 \right\}^{\frac{3}{2}}$$

stel $F = \left(\frac{c}{c'} \right)^{\frac{3}{2}} \frac{R \gamma}{\Delta D} = \left(\frac{1}{c'} \right)^{\frac{3}{2}} c^{\frac{3}{2}} \frac{R \gamma}{\Delta D}$

met $v^2 = c^2 \gamma$ of $c^{\frac{3}{2}} = \frac{v^{\frac{3}{2}}}{(R \gamma)^{\frac{1}{2}}}$

lijgen we $F = \left(\frac{1}{c'} \right)^{\frac{3}{2}} \frac{v^{\frac{3}{2}}}{(R \gamma)^{\frac{1}{2}}} \cdot \frac{R \gamma}{\Delta D}$

met $v_{*} = \sqrt{g R \gamma}$ of $(R \gamma)^{\frac{1}{2}} = \frac{v_{*}^{\frac{1}{2}}}{g^{\frac{1}{4}}}$ lijgen we

$$F = \frac{v^{\frac{3}{2}} v_{*}^{\frac{1}{2}}}{g^{\frac{1}{4}} \Delta D} \left(\frac{1}{c'} \right)^{\frac{3}{2}}$$

dus $F = \left(\frac{\sqrt{g}}{c'} \right)^{\frac{3}{2}} \left(\frac{v}{\sqrt{g \Delta D}} \right)^{\frac{3}{2}} \left(\frac{v_{*}}{\sqrt{g \Delta D}} \right)^{\frac{1}{2}} = \left(\frac{\sqrt{g}}{c'} \right)^{\frac{3}{2}} Y_{v_{*}}^{\frac{3}{2}} Y_v^{\frac{1}{2}}$

zodat : $X = 8 \left\{ \left(\frac{\sqrt{g}}{c'} \right)^{\frac{3}{2}} Y_{v_{*}}^{\frac{3}{2}} Y_v^{\frac{1}{2}} - 0,047 \right\}^{\frac{3}{2}}$

A.W.

$$X = \frac{C_A}{A^n} \cdot \left(\frac{C}{\sqrt{g}}\right)^{n+1} \cdot \frac{v_*}{\sqrt{g\Delta D}} \left\{ \frac{v_*}{\sqrt{g\Delta D}} \cdot \left(\frac{C}{C_1}\right)^{1-n} - A \right\}^m$$

$$F_1 = \left(\frac{C}{\sqrt{g}}\right)^{n+1} \cdot \frac{v_*}{\sqrt{g\Delta D}} \left. \begin{array}{l} F_1 = \frac{v_*^{n+1}}{(\sqrt{g})^{n+1} (\text{VRI})^{n+1}} \cdot \frac{v_*}{\sqrt{g\Delta D}} \\ C^{n+1} = \frac{v_*^{n+1}}{(\text{VRI})^{n+1}} \\ v_* = \sqrt{g\text{VRI}} \rightarrow (\text{VRI})^{n+1} = \left(\frac{v_*}{\sqrt{g}}\right)^{n+1} \end{array} \right\} \rightarrow$$

$$\frac{F_1}{F_1} = \frac{v_*^{n+1}}{(\sqrt{g})^{n+1} \cdot \frac{v_*^{n+1}}{(\text{VRI})^{n+1}}} \cdot \frac{v_*}{\sqrt{g\Delta D}} = \frac{v_*^{n+1}}{v_*^{n+1}} \cdot \frac{1}{\sqrt{g\Delta D}} = \left(\frac{v}{\sqrt{g\Delta D}}\right)^{n+1} \cdot \left(\frac{v_*}{\sqrt{g\Delta D}}\right)^{-n}$$

$$F_1 = Y^{n+1} \cdot X_*^{-n}$$

$$F_2 = \frac{v_* \cdot C^{1-n}}{\sqrt{g\Delta D}} \left. \begin{array}{l} C^{1-n} = \frac{v_*^{1-n}}{\text{VRI}^{1-n}} \\ v_* = \sqrt{g\text{VRI}} \rightarrow \text{VRI} = \frac{v_*}{\sqrt{g}} \end{array} \right\} C = \frac{v \cdot \sqrt{g}}{v_*} \left. \begin{array}{l} F_2 = \frac{v_* \cdot \left(\frac{v \cdot \sqrt{g}}{v_*}\right)^{1-n}}{\sqrt{g\Delta D}} \end{array} \right\}$$

$$F_2 = (\sqrt{g})^{1-n} \cdot \frac{v_*^n \cdot v^{1-n}}{\sqrt{g\Delta D}} = (\sqrt{g})^{1-n} \cdot \left(\frac{v}{\sqrt{g\Delta D}}\right)^{1-n} \cdot \left(\frac{v_*}{\sqrt{g\Delta D}}\right)^n = (\sqrt{g})^{1-n} \cdot Y_v^{1-n} \cdot Y_{v_*}^n$$

$$X = \frac{C_A}{A^n} \cdot \frac{Y_v^{n+1}}{Y_{v_*}^n} \left\{ \left(\frac{\sqrt{g}}{C_1}\right)^{1-n} \cdot Y_v \cdot Y_{v_*}^n - A \right\}^m$$

Rothner.

algemene verschijningsvorm:

$$\frac{1}{V_{qSD}^3} = \left\{ A \frac{v}{V_{qSD}} - B \right\}^3.$$

dit wordt dan: $X = \left\{ A Y_v - B \right\}^3.$

waarin $A = 0,667 \left(\frac{D}{\lambda} \right)^{\frac{3}{2}} + 0,14$

1.4 Verachijningsvorm volgens de algemene machtsformule

$$X = a Y_{v_x}^p Y_v^q$$

E.H. $X = 0,05 Y_{v_x}^3 Y_v^2$

$$p=3$$

$$q=2$$

MPM $X = 8 \left\{ \left(\frac{\sqrt{q}}{c_i} \right)^{\frac{3}{2}} Y_v^{\frac{3}{2}} Y_{v_x}^{\frac{1}{2}} - 0,047 \right\}^{\frac{2}{3}} = a Y_{v_x}^p Y_v^q$

stel $\left(\frac{\sqrt{q}}{c_i} \right)^{\frac{3}{2}} = A$ dan geeft differentiëren naar Y_v :

$$\frac{\partial X}{\partial Y_v} = \frac{2}{3} \cdot 8 \left\{ A Y_v^{\frac{3}{2}} Y_{v_x}^{\frac{1}{2}} - 0,047 \right\}^{\frac{1}{3}} \cdot \frac{3}{2} A Y_v^{\frac{1}{2}} Y_{v_x}^{\frac{1}{2}} = \frac{q}{Y_v} \cdot a Y_{v_x}^p Y_v^q$$

$$= \frac{\frac{2}{3} \cdot \frac{3}{2} A Y_v^{\frac{1}{2}} Y_{v_x}^{\frac{1}{2}}}{\left(A Y_v^{\frac{3}{2}} Y_{v_x}^{\frac{1}{2}} - 0,047 \right)} \cdot 8 \left\{ A Y_v^{\frac{3}{2}} Y_{v_x}^{\frac{1}{2}} - 0,047 \right\}^{\frac{2}{3}} = \frac{q}{Y_v} \cdot a Y_{v_x}^p Y_v^q$$

dus $\frac{\frac{q}{4} A Y_v^{\frac{1}{2}} Y_{v_x}^{\frac{1}{2}}}{A Y_v^{\frac{3}{2}} Y_{v_x}^{\frac{1}{2}} - 0,047} \cdot X = \frac{q}{Y_v} \cdot X$

zodat $q = \frac{\frac{q}{4}}{1 - \frac{0,047}{A Y_v^{\frac{3}{2}} Y_{v_x}^{\frac{1}{2}}}} =$

Differentieren naar Y_{rx} levert op:

$$p = \frac{\frac{3}{4}}{1 - \frac{0,047}{\left(\frac{\sqrt{q}}{c'}\right)^{\frac{3}{2}} Y_r^{\frac{3}{2}} Y_x^{\frac{1}{2}}}}$$

Voor M.P.M geldt dus:

$$p = \frac{\frac{3}{4}}{1 - \frac{0,047}{\left(\frac{\sqrt{q}}{c'}\right)^{\frac{3}{2}} Y_r^{\frac{3}{2}} Y_x^{\frac{1}{2}}}} = \frac{\frac{3}{4}}{1 - 0,047 Y}$$

$$q = \frac{\frac{9}{4}}{1 - \frac{0,047}{\left(\frac{\sqrt{q}}{c'}\right)^{\frac{3}{2}} Y_r^{\frac{3}{2}} Y_x^{\frac{1}{2}}}} = \frac{\frac{9}{4}}{1 - 0,047 Y}$$

$$\text{Rothner: } X = \left[\left\{ \frac{2}{3} \left(\frac{D}{2} \right)^{\frac{2}{3}} + 0,14 \right\} Y_r - 0,778 \left(\frac{D}{2} \right)^{\frac{1}{6}} \right]^3$$

$$\text{seal } A = \left\{ \frac{2}{3} \left(\frac{D}{2} \right)^{\frac{2}{3}} + 0,14 \right\}$$

$$B = 0,778 \left(\frac{D}{2} \right)^{\frac{1}{6}}$$

$$\text{dann } X = [AY_r - B]^3$$

$$\frac{\partial X}{\partial Y_r} = \frac{3 [AY_r - B]^2 \cdot A}{[AY_r - B]} = \frac{q}{Y_r} a Y_r^q Y_r^p$$

$$= \frac{3 A X}{[AY_r - B]} = \frac{q}{Y_r} X$$

$$\frac{3 A}{[AY_r - B]} = \frac{q}{Y_r}$$

$$q = \frac{3 A Y_r}{AY_r - B} = \frac{3}{1 - \frac{B}{3 A Y_r}} = \frac{3}{1 - \frac{0,778 \left(\frac{D}{2} \right)^{\frac{1}{6}}}{3 \left\{ \frac{2}{3} \left(\frac{D}{2} \right)^{\frac{2}{3}} + 0,14 \right\} Y_r}}$$

$$p = 0$$

Samenvatting.

$$E.H.: X = 0,05 Y_{v_x}^2 Y_v^2$$

$$p = 3$$

$$q = 2.$$

$$M.P.M.: X = 8 \left\{ \left(\frac{\sqrt{q}}{c'} \right)^{\frac{3}{2}} Y_{v_x}^{\frac{1}{2}} Y_v^{\frac{1}{2}} - 0,047 \right\}^{\frac{3}{2}}$$

$$p = \frac{\frac{3}{4}}{1 - \frac{0,047}{\left(\frac{\sqrt{q}}{c'} \right)^{\frac{3}{2}} Y_{v_x}^{\frac{1}{2}} Y_v^{\frac{1}{2}}}} = \frac{\frac{3}{4}}{1 - 0,047 Y}$$

$$q = 3p$$

$$\text{Rollner } X = \left[\left(\frac{2}{3} \left(\frac{D}{L} \right)^{\frac{2}{3}} + 0,14 \right) Y_v - 0,778 \left(\frac{D}{L} \right)^{\frac{1}{6}} \right]^3$$

$$p = 0, \quad q = \frac{3}{1 - \frac{0,778 (D/L)^{1/6}}{3 \left\{ \frac{2}{3} (D/L)^{2/3} + 0,14 \right\} Y_v}}$$

$$A.W. \quad X = \frac{C_A}{A^m} \frac{Y_v^{n+1}}{Y_{v_x}^n} \left\{ \left(\frac{\sqrt{q}}{c'} \right)^{1-n} Y_{v_x}^n Y_v^{1-n} - A \right\}^m$$

$$p = -n + \frac{n \cdot m}{1 - \frac{A}{\left(\frac{\sqrt{q}}{c'} \right)^{1-n} Y_{v_x}^{1-n} Y_v^n}} = -n + \frac{n \cdot m}{1 - A Y^{\frac{1}{2}}}$$

$$q = n+1 + \frac{m(1-n)}{1 - \frac{A}{\left(\frac{\sqrt{q}}{c'} \right)^{1-n} Y_{v_x}^{1-n} Y_v^n}} = n+1 + \frac{m(1-n)}{1 - A Y^{\frac{1}{2}}}$$

A.W.

$$X = \frac{C_A}{A^m} \cdot Y_r^{n+1} \cdot Y_x^{-n} \{B Y_r^{1-n} \cdot Y_x^n - A\}^m = a Y_r^q Y_x^p \quad \left(B = \left(\frac{U_A}{C} \right)^{1-n} \right)$$

$$\frac{\partial X}{\partial Y_r} = \frac{C_A}{A^m} (n+1) Y_r^n Y_x^{-n} \{B Y_r^{1-n} Y_x^n - A\}^m + \frac{C_A}{A^m} \cdot Y_r^{n+1} \cdot Y_x^{-n} \cdot m \{B Y_r^{1-n} \cdot Y_x^n - A\}^{m-1} \times B(1-n) Y_r^{-n} Y_x^n = a q Y_r^{q-1} Y_x^p$$

$$\frac{n+1}{Y_r} \cdot \frac{C_A}{A^m} \cdot Y_r^{n+1} \cdot Y_x^{-n} \{B Y_r^{1-n} \cdot Y_x^n - A\}^m + \frac{m B(1-n) Y_r^{-n} Y_x^n}{B Y_r^{1-n} Y_x^n - A} \cdot \frac{C_A}{A^m} \cdot Y_r^{n+1} \cdot Y_x^{-n} \{ \}^{m-1} = \frac{n+1}{Y_r} \cdot a Y_r^q Y_x^p = q \cdot a Y_r^{q-1} Y_x^p$$

$$\frac{n+1}{Y_r} \cdot X + \frac{m B(1-n) Y_r^{-n} Y_x^n}{Y (B Y_r^{1-n} Y_x^n - A)} \cdot X = q \frac{X}{Y_r}$$

$$q = n+1 + \frac{m(1-n)}{1 - \frac{A}{B Y_r^{1-n} Y_x^n}}$$

$$\frac{\partial X}{\partial Y_x} = \frac{C_A}{A^m} \cdot Y_r^{n+1} \cdot (-n) Y_x^{-n-1} \{B Y_r^{1-n} Y_x^n - A\}^m + \frac{C_A}{A^m} \cdot Y_r^{n+1} \cdot Y_x^{-n} \cdot m \{B Y_r^{1-n} \cdot Y_x^n - A\}^{m-1} \cdot B Y_r^{1-n} \cdot n \cdot Y_x^{n-1} = a Y_r^q Y_x^{p-1}$$

$$- \frac{n}{Y_x} \cdot X + \frac{X}{Y_x} \cdot \frac{n m B Y_r^{1-n} Y_x^n}{(B Y_r^{1-n} Y_x^n - A)} = \frac{p}{Y_x} \cdot X$$

$$p = -n + \frac{n m}{1 - \frac{A}{B Y_r^{1-n} Y_x^n}}$$

Correctie wandinvloeden volgens Einstein

Een onderzoek naar de invloed van de wandruwheid is verricht met behulp van de hypothese van Einstein. Voor rechthoekige goten komt het er op neer, dat deze hypothese de aanwezigheid van twee schuifspanningsloze vlakken stelt, die het doorstroomprofiel in drie delen splitsen. Een deel, dat door de bodem beïnvloed wordt (het bodemgedeelte) en twee delen, die door de wand beïnvloed worden (het wandgedeelte).

Dit zou dus betekenen, dat slechts het bodemgedeelte verantwoordelijk is voor het sediment transport. Om nu de invloed van de wand te bepalen, is het noodzakelijk om de ruwheid van de wand te weten. Deze wandruwheid was echter niet bij de meetgegevens opgenomen, zodat hiervoor een schatting noodzakelijk was. Bij het schatten van de wandruwheid worden fouten geïntroduceerd. Om nu enig inzicht te krijgen in de orde van grootte van de fouten is een computerprogramma ontwikkeld waarin enkele schattingen voor de wandruwheid gemaakt zijn.

De volgende aannamen voor de wandruwheid zijn nu gemaakt :

1 De wand is oneindig glad.

Dit is een benadering voor het geval waarin h/b zeer klein is. Daar dit juist bij modelomstandigheden niet het geval is, weten we dat er fouten worden geïntroduceerd, die groter zijn naarmate h/b groter is.

2 De wand is hydraulisch glad.

In dit geval is de Nikuradse wandruwheid k_w te verwaarlozen. Er bestaat een relatie tussen het Reynoldsgetal en de Chezy ruwheidsfactor van de wand (C_w). Meer hierover in bijlage II - Deze C_w is te berekenen, zodat de hypothese van Einstein op te lossen is.

3 Schatting k_w .

Een derde mogelijkheid is het schatten van de k_w . Voor deze schatting is uitgegaan van de waarde die A. Dollee (19) kreeg bij de ijking van een modelgoot in het laboratorium van vloeistofmechanica.

De wand van deze goot was opgebouwd uit glazen elementen, die met voegen tegen elkaar waren geplaatst. Dollee verkreeg een k_w van $2 \cdot 10^{-4}$ m. De volgende waarden zijn nu aangenomen : $k_w = 1,5 \cdot 10^{-4}$, $2 \cdot 10^{-4}$, $2,5 \cdot 10^{-4}$, $3 \cdot 10^{-4}$ en $4 \cdot 10^{-4}$ m. Deze komen ongeveer overeen met de k_w waarde variërend tussen glazen elementen en glad afgestreken beton. Voor deze wandruwheden is nagegaan of de wanden hydraulisch ruw of hydraulisch glad zijn, of dat hier sprake is van een overgangsgebied. De volgende criteria zijn hierbij gebruikt :

$$\frac{3,5 k_w}{\delta_w} < 0,05 : \text{hydraulisch glad}$$

$$0,05 < \frac{3,5 k_w}{\delta_w} < 20 : \text{overgangsgebied}$$

$$\frac{3,5 k_w}{\delta_w} > 20 : \text{hydraulisch ruw}$$

Voor de gevallen 2 en 3 is een vergelijking gemaakt aan de hand van de R_b . Hierbij is in verhoudingen gewerkt, waarbij R_b voor geval 2 op 100 % is gesteld. Met behulp van het computerprogramma zijn de volgende resultaten bereikt :

- Bij geen van de geschatte k_w waarden bleek, dat de wanden hydraulisch glad of hydraulisch ruw waren.

Bij $k_w = 1,5 \cdot 10^{-4}$ m. varieërde $\frac{3,5 k_w}{\delta_w}$ van 0,5 tot 5

Bij $k_w = 0,4 \cdot 10^{-4}$ m. varieërde $\frac{3,5 k_w}{\delta_w}$ van 1 tot 14

- Het relatieve verschil van de R_b voor de aanname wand is hydraulisch glad en $k_w = 4 \cdot 10^{-4}$ varieërde met een maximum van 30 %.

- Indien voor alle goten veronderstelt wordt, dat $k_w = 0,25 \cdot 10^{-3}$ m., dan kunnen er maximale fouten in R_b optreden van 5 %, als in werkelijkheid geldt, dat $k_w = 0,15 \cdot 10^{-3}$ m. of $k_w = 0,4 \cdot 10^{-3}$ m.

Hieruit kan geconcludeerd worden, dat een schatting van $k_w = 0,25 \cdot 10^{-3}$ m. acceptabel is.

Hypothese van Einstein

De hypothese van Einstein gaat uit van de aanwezigheid van twee schuifspanningsloze vlakken, die de stromingsdoorsnede in drie oppervlakken verdelen. Een van de doorsnede wordt beïnvloed door de bodem (het bodemgedeelte), de twee andere doorsneden worden beïnvloed door de wand (het wandgedeelte). Verder veronderstelt de hypothese, dat het verhang en de gemiddelde snelheid in ieder deel gelijk is. De volgende formules gelden nu :

$$v = C \sqrt{R I} \quad (II.A)$$

$$v = C_w \sqrt{\frac{R_w I}{W}} \quad (II.B)$$

$$v = C_b \sqrt{\frac{R_b I}{B}} \quad (II.C)$$

$$R_b \cdot B + R_w \cdot 2 h = A \quad (II.D)$$

waarin v : gemiddelde snelheid

R : hydraulische straal van de gehele stroomdoorsnede

R_w : hydraulische straal van het wandgedeelte

R_b : hydraulische straal van het bodemgedeelte

I : verhang

B : breedte van de goot

h : hoogte van de waterspiegel

C : totale Chezy ruwheidscoëfficiënt

C_w : Chezy ruwheidscoëfficiënt met betrekking tot de wand

C_b : Chezy ruwheidscoëfficiënt met betrekking tot de bodem

Verder geldt :

$$C_w = 18 \log \frac{12 R_w}{k_w + \frac{\delta_w}{3,5}}$$

$$C_b = 18 \log \frac{12 R_b}{k_b + \frac{\delta_b}{3,5}}$$

waarin δ_w : laminaire grenslaag van de wand

δ_b : laminaire grenslaag van de bodem

k_w : Nikuradse ruwheid van de wand

k_b : nikuradse ruwheid van de bodem

$$\text{en } j = \frac{11,6}{gR_j I}$$

waarin j : voor bodem- of wandgedeelte

De vergelijkingen 1 tot en met 4 vormen nu 4 vergelijkingen met 5 onbekenden namelijk : C , C_w , C_b , R_w en R_b .

De vergelijkingen zijn op te lossen door een vergelijking toe te voegen.

Deze vergelijking wordt verkregen door een extra gegeven betreffende de wand. Hiervoor doen zich twee mogelijkheden voor namelijk :

1. De wand is hydraulisch glad.
2. De wand is niet hydraulisch glad.

ad. 1 Wand is hydraulisch glad.

Wordt er van uitgegaan, dat de wanden hydraulisch glad zijn, dan kan de Nikuradse wandruwheid (k_w) verwaarloosd worden en hangt de wandruwheid alleen af van de laminaire grenslaag δ_j . In dit geval bestaat er een relatie tussen het Reynoldsgetal en de Chezy ruwheidsfactor van de wand (C_w). Zie hiervoor ook Vanoni en Brooks (1957).

Voor hydraulisch gladde wanden geldt :

$$C_w = 18 \log \frac{12R_w}{\delta_w / 3,5} = 18 \log 42 \frac{R_w}{\delta_w} \quad (\text{II.1})$$

$$\text{Hier geldt } Re_w = \frac{4vR_w}{\nu} \quad (\text{II.2})$$

$$\text{en } \delta_w = \frac{11,6\nu}{v_{*w}} \quad (\text{II.3})$$

Uit de vergelijkingen (II.2) en (II.3) volgt :

$$Re_w = \frac{4 \cdot 11,6 v R_w}{\delta_w v_{*w}} \quad (\text{II.4})$$

$$\text{zodat } \frac{R_w}{\delta_w} = \frac{Re_w}{4 \cdot 11,6} \cdot \frac{v_{*w}}{v} \quad (\text{II.5})$$

Met $\frac{v_{*w}}{v} = \frac{\sqrt{g}}{C_w}$ wordt vergelijking (II.5)

$$\frac{R_w}{\delta_w} = \frac{Re_w}{4 \cdot 11,6} \cdot \frac{\sqrt{g}}{C_w} \quad (\text{II.6})$$

Vergelijking (II.6) gesubstitueerd in vergelijking (II.1)
levert :

$$C_w = 18 \log \left(\frac{42}{4.11,6} \cdot Re_w \cdot \frac{\sqrt{g}}{C_w} \right) \quad (II.7)$$

Nu geldt : $Re = \frac{4vR}{\nu}$

zodat $\frac{Re}{R} = \frac{4v}{\nu}$

Einstein verondersteld dat de gemiddelde watersnelheid v voor
het wand en het bodemgedeelte gelijk is zodat :

$$\frac{Re}{R} = \frac{Re_w}{R_w} = \frac{Re_b}{R_b} = \frac{4v}{\nu} \quad (II.8)$$

dus $\frac{Re_w}{Re} = \frac{R_w}{R} \quad (II.9)$

Er geldt $v = C R I$ of $C^2 R = \frac{v}{I}$, met Einstein geldt dan

$C^2 R = C_w^2 R_w$ dus :

$$\frac{R_w}{R} = \frac{C^2}{C_w^2} \quad (II.10)$$

De vergelijkingen (II.9) en (II.10) geven :

$$\frac{Re_w}{Re} = \frac{C^2}{C_w^2} \quad (II.11)$$

Met vergelijking (II.11) wordt vergelijking (II.7) :

$$C_w = 18.10g \ 0,905g \frac{Re C^2}{C_w^3} \quad (II.12)$$

In vergelijking (II.12) is alleen C_w onbekend. C_w is impliciet
geschreven en is daarom alleen iteratief op te lossen.

Vergelijking (II.12) vormt samen met de vergelijkingen (II.A)
t/m (II.D) 5 vergelijkingen met 5 onbekenden. Het stelsel

vergelijkingen is op te lossen.

Een oplossing is gegeven door Vanony en Brooks (1957).

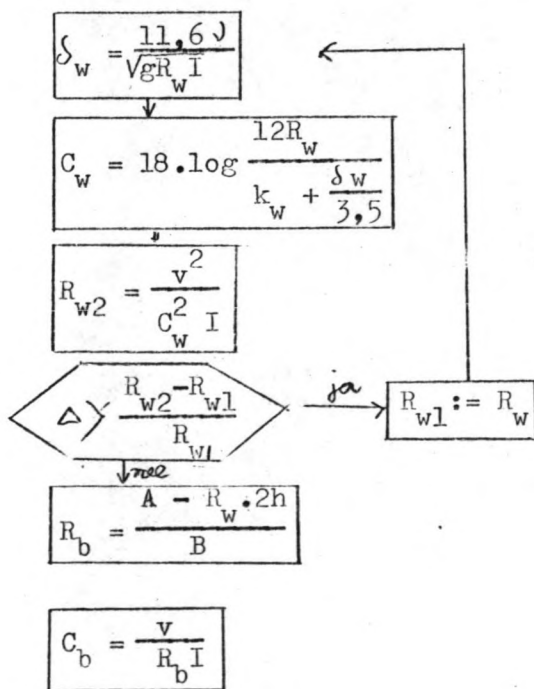
Zij hebben niet met Chézy maar met de Darcy Weisbach ruweheidsfactor gewerkt. Hiervoor geldt $f = 8g/C^2$. Zij hebben in een grafiek Re/f uitgezet tegen f . Re en f zijn bekend. Volgens de relatie $Re/f = Re_w/f_w$ is Re_w/f_w bekend. De f_w is dan uit de grafiek te bepalen. Deze rekenwijze is opgenomen in het computer programma, voor het geval waarbij aangenomen is dat de wand hydraulisch glad is.

ad 2 De wand is niet hydraulisch glad.

Mag de k_w niet verwaarloosd worden, dan is het slechts mogelijk om de vergelijkingen (II.A) t/m (II.D) op te lossen, als k_w bekend is. Als k_w niet bekend is, dan zal deze zo goed mogelijk geschat moeten worden. De berekening geschiedt dan als volgt :

k_w bekend of geschat

eerste benadering $R_{w1} = 1/4 \cdot B$



Δ is de opgegeven nauwkeurigheid.

Onderzoek naar de invloed van de zijwandcorrectie.

Door het invoeren van de zijwandcorrectie kwamen enkele problemen aan het licht. Bij de vergelijking van de formule van E.H. met de meetpunten bleek dat de formule verschoven lag t.o.v. de meetpunten. Dit zou veroorzaakt kunnen worden door de zijwandcorrectie. Bij een nadere analyse van de invloed van de wandruwheid bleek, bovendien dat voor enkele metingen de totale op het bed werkende ruwheid kleiner was dan de ruwheid van de korrels, ofwel $C > C'$

De C en C' waren berekend volgens :

$$\frac{C}{g} = \frac{v}{v_*} = Q_B^{-1} h^{-1} g^{-1/2} R_b^{-1/2} I^{-1/2} \quad (\text{III.1})$$

$$\frac{C'}{g} = 18 \cdot \log \frac{12R_b}{D_{90}} \quad (\text{III.2})$$

De fout veroorzaakt door een verkeerde aanname van de wandruwheid werkt door in de R_b en dus in de . Voor C' heeft dit slechts een kleine fout ten gevolge daar de R_b onder het log. teken staat.

De fout in $\sqrt{\frac{C}{g}}$ kan veroorzaakt worden door :

- I : vooral kleine verhangen kunnen een grote relatieve meetfout geven.
- h : Bij die stromingsomstandigheden, waarbij een wild regime is ($Fr > 1$) kunnen grote fouten in de metingen van de waterhoogte voorkomen.
- R_b : De fout in de R_b is drieledig.
 - De fout in h werkt door in R_b .
 - De fout in de aanname van de wandruwheid werkt door in R_b .
 - De fout in de hypothese van Einstein werkt door in de R_b .

Verwacht kan dus worden, dat grote fouten zullen optreden bij:

- kleine verhangen.
- Wild regime.
- Verkeerde schatting van de wandruwheid.

Een onderzoek naar de invloed van deze factoren is uitgevoerd.

Allereerst is gerekend met een zijwand correctie beschreven in bijlage II.

Dit onderzoek is grafisch verricht.

De parameters $\frac{R_b}{D_{90}}$ zijn ingedeeld in klassen. Voor iedere klasse is een grafiek getekend met een verticale as $\frac{v}{v_*}$ ($= \frac{C}{g}$) en een horizontale as : I (verhang).

De meetpunten zijn gemerkt met een symbool, die de beddingvorm weergeeft. De verkregen relaties zijn uitgezet in fig. III -1 tot en met III - 15. De getrokken lijn stelt de relatie $\frac{C}{g} = \frac{C'}{g}$ voor.

Dit kan gezien worden als bovengrens voor de meetpunten. De gestippelde lijnen geven de afwijking in procenten van $\sqrt{\frac{C'}{g}}$ weer. Er is te zien, dat het feit dat $C > C'$ optreedt, in de volgende gevallen :

- Verhangen klein
- Zeer wild regime (antiduin, chutes and pools)
- $\frac{R_b}{D_{90}}$ zeer klein

In het derde geval komt het er op neer, dat de waterhoogte klein is ten op zichte van de korrels.

Stel $R_b/D_{90} \sim h/D_{90} = 50$, dan $h = 50D_{90}$.

Met $D_{90} = 1$ mm geeft dit : $h = 5$ cm.

Een grote relatieve fout in de meting van de h kan hier dus de oorzaak van zijn.

Vreemd is echter, dat over het algemeen bij kleine verhangen de C waarde te groot is. Als men bedenkt, dat meetfouten, zowel een fout naar boven als naar beneden kunnen geven, kan gedacht worden aan een systematische fout. Deze systematische fout moet dan zitten in de aanname van de wandruwheid. Is deze wandruwheid te groot genomen, dan is R_b te klein, zodat $\frac{C}{\sqrt{g}}$ te groot is en $\frac{C'}{\sqrt{g}}$ te klein. We zien, dat bij de vergroting van k_w het mes aan twee kanten snijdt. (C wordt groter, C' wordt kleiner).

Verwacht kan worden, dat een verkleining van de wandruwheid tot betere resultaten zal leiden. Dit is onderzocht voor het extreme geval dat de wand oneindig glad is. (dus $R_b = h$). De meetpunten zijn nu op dezelfde wijze uitgezet in fig. III - 16 tot en met III - 29 . De getrokken lijn geeft de relatie $C = C'$ weer. Een vergelijking van deze figuren met de voorgaande is niet helemaal te maken, daar R_b een herindeling van de meetpunten in de klassen $\frac{R_b}{D_{90}}$ tot gevolg had.

Door een fout in het plotmechanisme van de computer is van het interval nr. 8 waarbij geldt $71 \leq R_b/D_{90} \leq 100$ geen grafiek gemaakt. Voor een algemeen inzicht in de invloed van R_b is dit echter geen bezwaar. Er treden ook hier fouten op en wel in de gevallen waarbij geldt :

- I : klein
- wild regime

De verwaarlozing van de wandruwheid heeft wel enig positief effect, maar er blijven grote afwijkingen voorkomen. De verandering is goed te zien in meetpunten 2.02 van fig. III 13. De meetwaarden van dit punt zijn :

$$\left. \begin{array}{l} B = 0,914 \text{ m} \\ h = 0,144 \text{ m} \end{array} \right\} h/B = 1/6$$

$$D_{90} = 0,14 \text{ mm}$$

$$R_b = 0,087 \text{ m}$$

$$R_b/D_{90} = 620$$

Nu geldt $C = 1,5 C'$

wordt een oneindig gladde wand verondersteld, dan :

$$\rightarrow R_b = h, \text{ dus } R_b/D_{90} = 1028 \text{ (interval 15) } \quad 11.89$$

voor de ruwheden geldt :

$$\rightarrow C/\sqrt{g} = 24,8 \quad \text{en} \quad C'/\sqrt{g} = 23,5$$

De waarden komen dus veel dichterbij elkaar te liggen, het verschil tussen de waarden kan verklaard worden uit de meetfouten in h en I .

Resumerend kan men concluderen :

- Voor kleine verhangen zijn de metingen erg onnauwkeurig.
- Voor zeer wilde regimes wordt de fout veroorzaakt door de fout in de gemeten waterhoogte.
- De wandruwheid moet nauwkeurig bekend zijn. Afwijkingen hierin kunnen gevolgen hebben voor de bodemruwheid.
- Tenslotte kan men zich nog afvragen of de D_{90} wel een goede maat is voor de korrelruwheid.
- De hier gekozen wandruwheid $k_w = 2,5 \cdot 10^{-4}$ leidt tot oncontroleerbare fouten.

nr.	Q (m ³ /s)	h (m)	I.10 ⁴	t (°C)	.10 ⁶	s.10 ⁶ (m ² /s)
1	0,150	0,1983	16,00	12,5	1,22	12,39
2	0,150	0,1987	15,80	14,8	1,15	12,51
3	0,225	0,2837	12,60	17,2	1,08	12,41
4	0,075	0,1108	24,00	16,6	1,09	12,39
5	0,075	0,1097	22,70	12,0	1,24	11,62
6	0,300	0,1983	10,00	13,2	1,20	12,32
7	0,340	0,380	8,80	12,7	1,21	12,68
8	0,403	0,4897	7,40	14,4	1,16	12,83
9	0,550	0,5915	6,30	26,1	0,875	13,09
10	0,175	0,2777	5,87	17,9	1,06	2,39
11	0,270	0,3007	16,21	18,0	1,05	23,53
12	0,090	0,1146	32,94	17,5	1,07	24,37
13	0,475	0,4875	10,90	17,7	1,06	24,37
14	0,063	0,1051	10,83	18,4	1,05	2,59
15	0,305	0,4504	4,16	18,1	1,06	2,61
16	0,310	0,2626	39,80	17,6	1,07	117,68
17	0,150	0,4052	8,90	18,8	1,04	13,28
18	0,635	0,4927	27,00	18,7	1,04	119,12

Voor alle meetgegevens geldt :

B = 1,5 m

Korreleigenschappen

D₃₅ = 0,70 mm

D₅₀ = 0,75 mm

D₆₅ = 0,78 mm

D₉₀ = 0,84 mm

D_m = 0,77 mm

Meetgegevens van het Waterloopkundig Laboratorium "De Voorst".

nr.	datum	VERTIKAAL	afvoer (m ³ /s)	afvoer (m ² /s)	verhang · 10 ⁴	diepte (m)	gem. snelh. (m/s)	temp. (°C)	\downarrow (10 ⁻⁶ m ² /s)	s (10 ⁻⁶ m ² /s)	bodemtransport					D _m gradatie	
											D ₁₆	D ₃₅	D ₅₀	D ₆₅	D ₈₄		
	28-2-73	I	61	345	4,34	0,681 ^{*)}	5,42	0,80	1,539	3,831							
	1-3-73	II	85	327	4,25	0,693 ^{*)}	5,12	0,83	1,539	8,661							
	2-3-73	III	112	317	3,80	0,792 ^{*)}	4,52	0,84	1,510	2,029					0,47	0,41	1,32
1	8-3-73	II	94	321	4,06	0,767 ^{*)}	4,32	0,94	1,459	5,267					0,54	0,42	1,34
2	9-3-73	II	94	325	3,96	0,681 ^{*)}	4,30	0,92	1,437	0,789					0,44	0,38	1,30
	11-4-73	I	112	305	3,64	0,511	5,13	0,71	1,370	0,842							
	12-4-73	II	144	302	3,49	0,571	4,65	0,75	1,374	1,196							
	13-4-73	III	173	297	2,88	0,631	4,11	0,70	1,374	1,674							
4	7-11-73	II	136	249	2,88	0,478	4,12	0,70	1,358	2,242					0,67	0,54	1,38
5	8-11-73	III	165	247	2,67	0,479	3,98	0,67	1,327	1,528					0,54	0,39	1,50
6	9-11-73	I	111	250	2,67	0,459	4,69	0,57	1,315	0,436					0,61	0,61	1,47
7	1-7-75	II	138	367	4,00	0,656	5,00	0,80	1,063	7,697					0,58	0,50	1,46
8	2-7-75	III	165	361	4,13	0,691	4,80	0,86	1,047	5,198					0,37	0,37	1,48
9	3-7-75	I	111	364	4,10	1,338	5,40	0,76	1,039	5,367					0,70	0,82	1,37
10	22-9-76	I	115	240	2,70	0,643	3,90	0,693	1,079	4,922					0,58	0,68	1,40
11	23-9-76	II	140	253	2,65	0,643	3,90	0,68	1,073	1,872					0,44	0,51	1,39
12	24-9-76	III	170	257	2,59	0,643	3,60	0,72	1,065	0,905					0,32	0,37	1,37

Meetgegevens van de IJssel, kmr 962 900

*) Verhang berekend uit de waterstanden van de peilschalen.

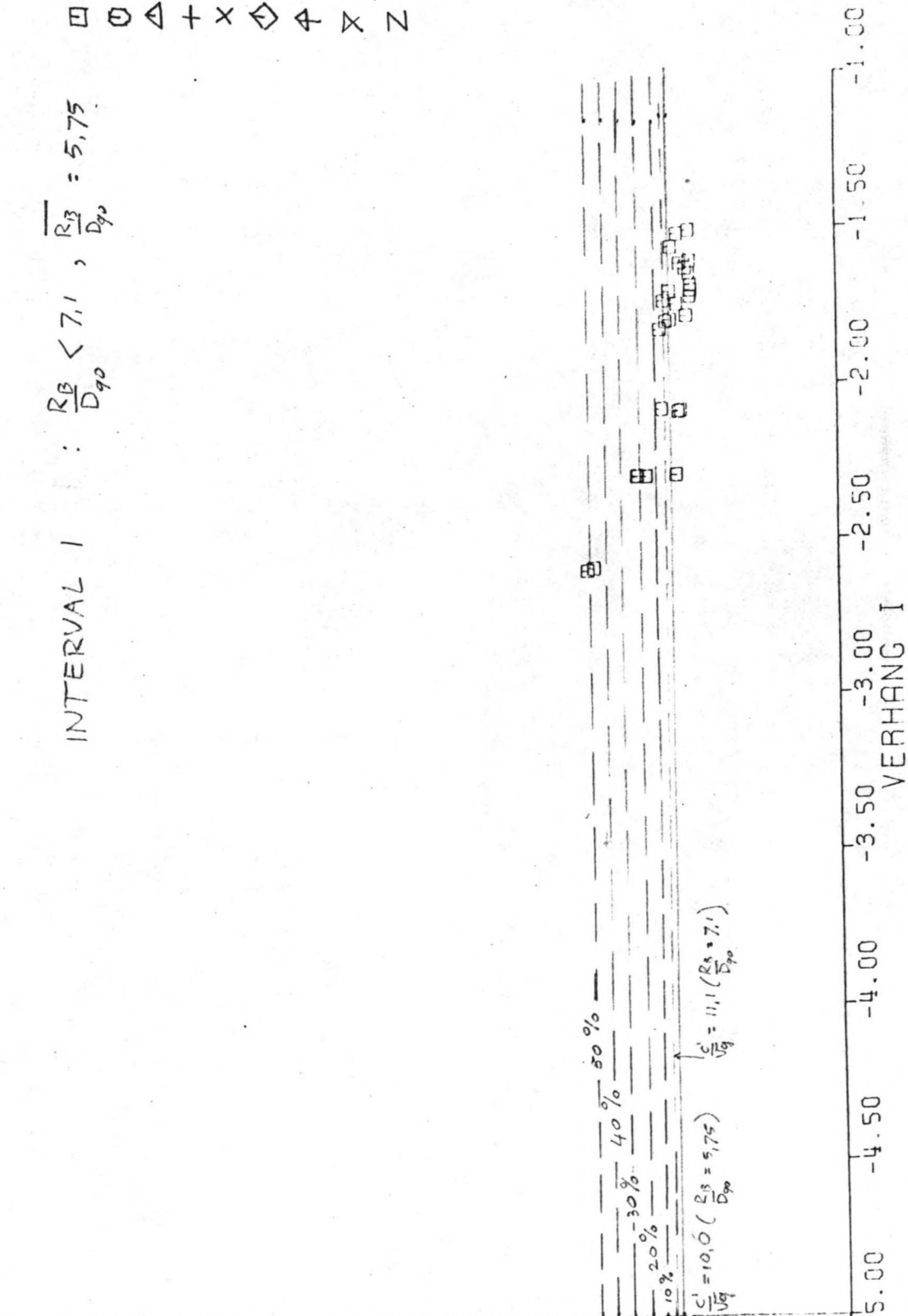
			(m ² /s)	·10	(m)	(m/s)	(°C)	D ₁₆	D ₃₅	D ₅₀	D ₆₅	D ₈₄	D _m	gradatie
13	3-11-71	I 66	160	0,241 ^{*)}	4,60	12,2								
	3-11-71	II 141	160	0,241 ^{*)}	2,76	12,2								
14	4-11-71	II 110	158	0,31	3,30	0,521		0,35	0,44	0,51	0,59	1,32	1,51	2,02
	11-11-71	III 155	156	0,238	2,20	0,369	8,8	3,43	5,28	7,02	10,50	12,18	7,65	1,89
	12-11-71	I 66	152	0,277	4,60	0,452	8,0							
	12-11-71	II 108	152	0,277	3,30	0,550	8,0							
15	23-11-71	II 108	303	0,284 ^{*)}	4,39	0,781	5,6	0,37	0,49	0,64	0,98	2,34	1,29	2,69
16	24-11-71	II 111	370	0,460 ^{*)}	4,67	0,960	6,4	0,32	0,41	0,54	1,09	3,96	1,72	4,51
17	24-11-71	IV 125	370	0,460 ^{*)}	4,52	0,899	6,4	0,48	0,69	1,00	1,53	3,05	2,11	2,57
18	24-11-71	V 98	370	0,460 ^{*)}	4,67	0,933	6,4	0,33	0,40	0,47	0,55	0,91	0,92	1,68
	25-11-71	I 73	344	0,350 ^{*)}	5,47	0,743	6,1							
19	18- 4-72	II 111	529	1,305	5,22	1,00	11,8	0,40	0,69	1,11	1,83	3,25	1,74	2,85
	19- 4-72	III 157	503	1,225	4,45	0,89	11,5							
20	20- 4-72	III 98	492	1,21	5,10	1,03	11,2	0,31	0,40	0,49	0,65	1,69	1,03	2,51
	20- 4-72	V 492	492	1,21	5,30	1,04	11,2							
	24- 4-72	II 108	467	1,18	5,17	1,02	11,6							
21	25- 4-72	II 107	464	1,19	5,22	1,00	11,2	0,36	0,48	0,75	1,78	4,48	2,09	4,03
22	2- 5-72	II 112	320	0,16	4,90	0,704	12,5	0,42	0,55	0,65	1,01	3,17	1,54	3,21
23	3- 5-72	IV 129	314	0,17	4,69	0,678	15,0	0,56	0,68	0,75	0,83	1,18	0,93	1,46
24	3- 5-72	VI 136	314	0,17	4,67	0,633	15,0	0,53	0,69	0,81	1,04	1,62	1,08	1,76
25	3- 5-72	VII 100	314	0,17	4,90	0,680	15,0	0,39	0,49	0,57	0,72	1,45	0,95	2,00
26	28-11-72	III 146	1341	11,01	7,48	1,472	6,4	0,80	1,59	2,50	3,88	7,21	3,91	3,00
	29-11-72	II 106	1324	0,35	8,10		6,4	0,76	1,76	3,07	4,54	8,09	4,33	3,34
27	30-11-72	I 65	1206	0,35	8,87	1,36	6,3	8,51	10,69	13,18	18,21	25,12	13,00	1,73
28	13-12-72	III 151	757	0,875 ^{*)}	5,22	1,173	6,6	0,98	2,61	3,89	5,25	8,08	4,63	3,02
29	14-12-72	II 109	735	0,875 ^{*)}	5,97	1,297	6,8	0,55	0,85	1,46	2,56	4,98	2,60	3,03
30	15-12-72	I 73	716	0,875 ^{*)}	6,77	1,179	7,1	1,89	3,01	3,88	4,77	5,87	3,82	1,78
	30-12-72	I 66	299	0,35 ^{*)}	8,87	1,36	6,3	8,21	10,39	12,74	17,14	23,36	12,64	1,69
	16- 5-73	III 150	888	0,853 ^{*)}				1,72	2,72	3,45	4,26	5,88	3,84	1,86
31	17- 5-73	I 65	855	8,31	7,30	1,139	14,2	6,07	9,13	10,92	14,28	20,30	11,10	1,83
32	18- 5-73	II 111	811	6,95	6,00	1,159	14,6	0,64	0,89	1,24	2,02	4,21	2,27	2,67
	9- 4-74	III 150	682	3,19	4,20	0,76	14,0							
	10- 4-74	II 112	631	4,09	4,70	0,87	14,4							
	11- 4-74	I 70	582	4,46	5,73	0,778	14,8	0,45	0,55	0,69	1,16	3,23	1,58	3,11
	14-11-74	III 149	284	6,54	5,69	1,15	8,3							
	15-11-74	I 66	324	7,77	7,06	1,10	8,8							
	18-11-74	II 109	425	7,80	6,19	1,26	9,2							
	19-11-74	III 151	689	5,75	5,00	1,15	9,2							
	20-11-74	II 107	928	7,26	5,95	1,22	8,9							
	21-11-74	I 72	968	8,27	6,78	1,22	8,9							

Meetgegevens van het Pannerdens kanaal, kmr 870 625

*) Verhang berekend uit de waterstanden van de peilschalen.

Fig. 111.1 t/m 111.15 : Relatie tussen I , C/\sqrt{g} en de beddingvorm.

YV/YV* = C/SORT (G)



INTERVAL I : $\frac{RB}{D_{90}} < 7.1$, $\frac{RB}{D_{90}} = 5.75$

- BEDDINGVORM:
- NIET BEKEND
 - VLAK BED
 - △ RIJBELS
 - + DUINEN
 - x OVERGANGSGEBIED
 - ◇ VLAK BEID
 - ⊠ STAANDE DUINEN
 - × ANTIDUINEN
 - z CHUTES AND POOLS

FIG III.1

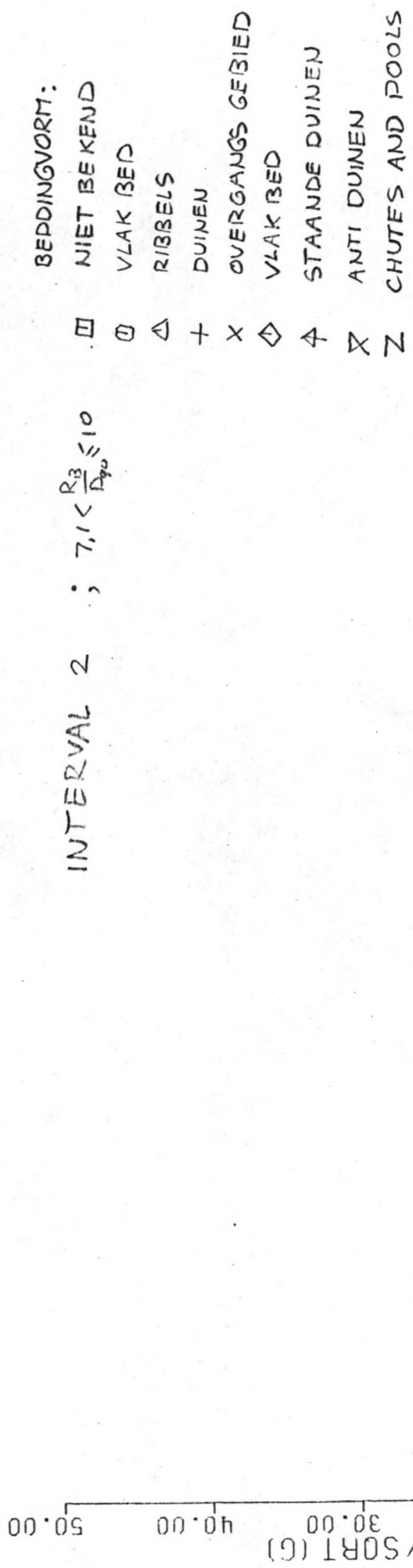


FIG III.2

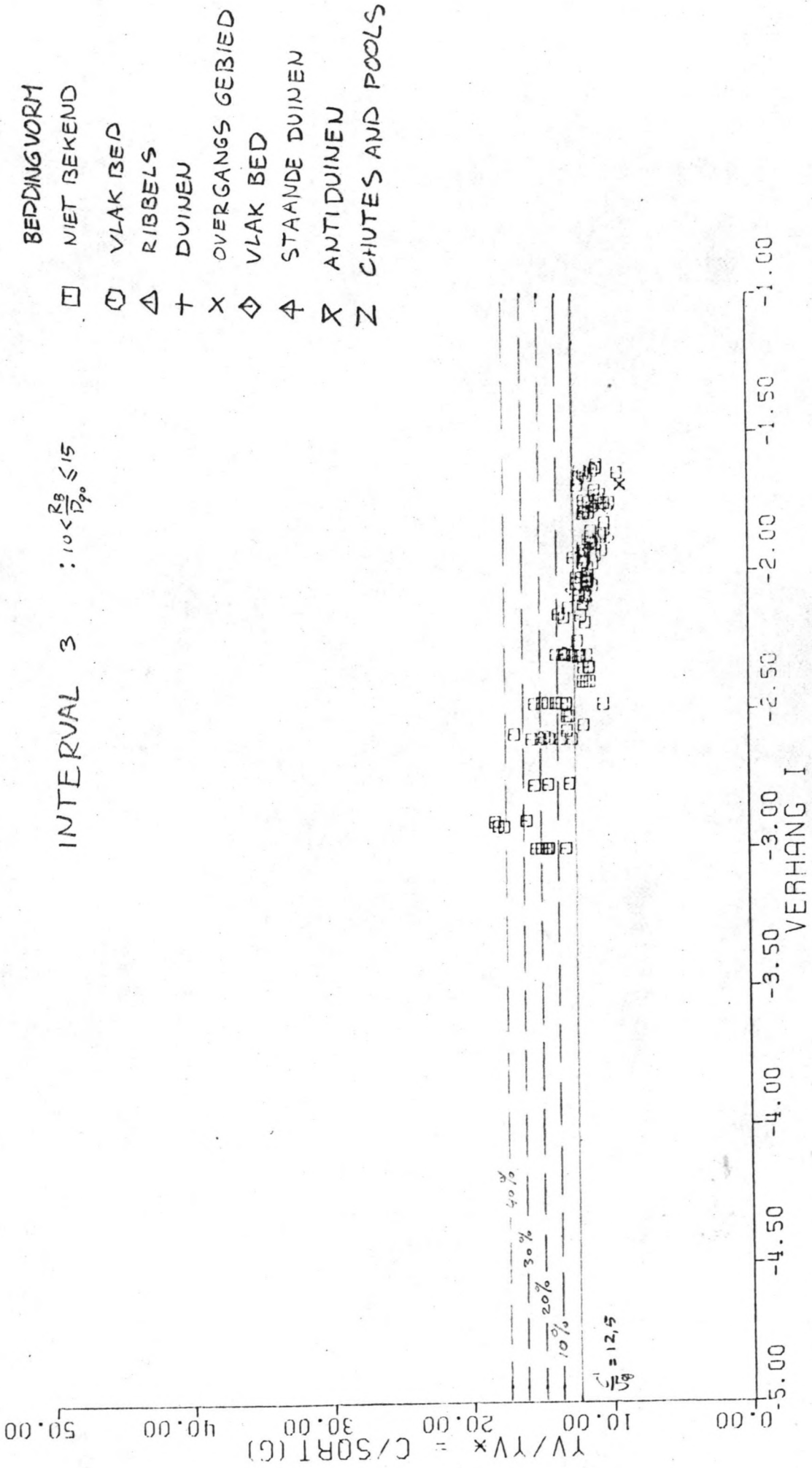


FIG III.3

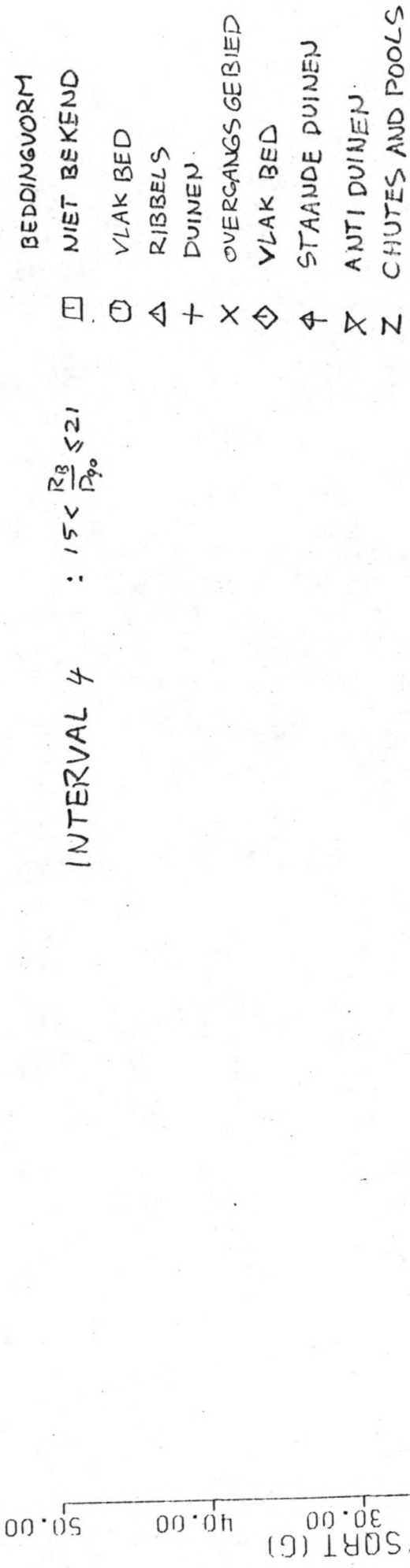
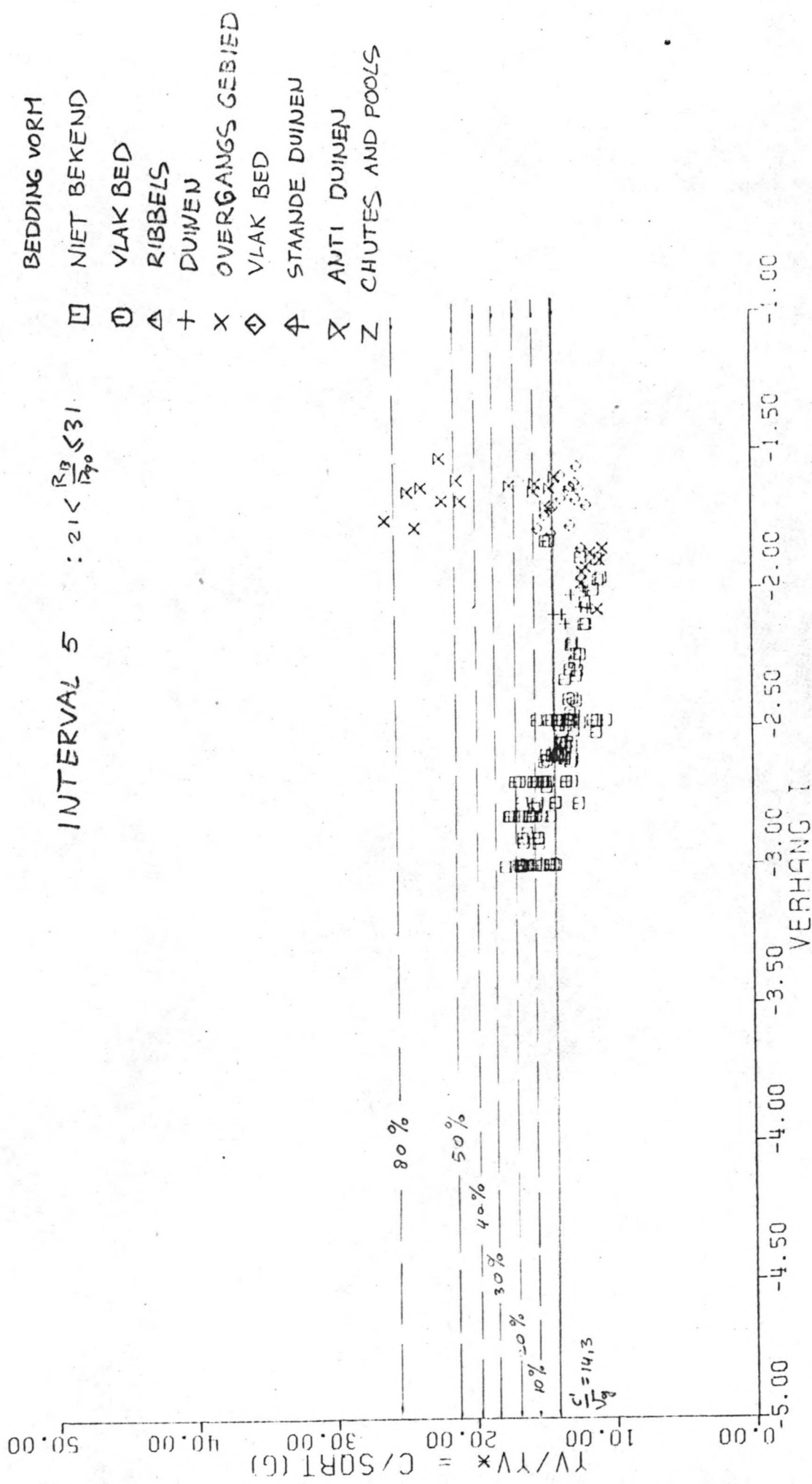


FIG III.4



BEDDING VORM

- NIET BEKEND
- VLAK BED
- △ RIBBELS
- + DUINEN
- x OVERGANGS GEBIED
- ◇ VLAK BED
- ↑ STANDE DUINEN
- ↓ ANTI DUINEN
- z CHUTES AND POOLS

FIG III-5

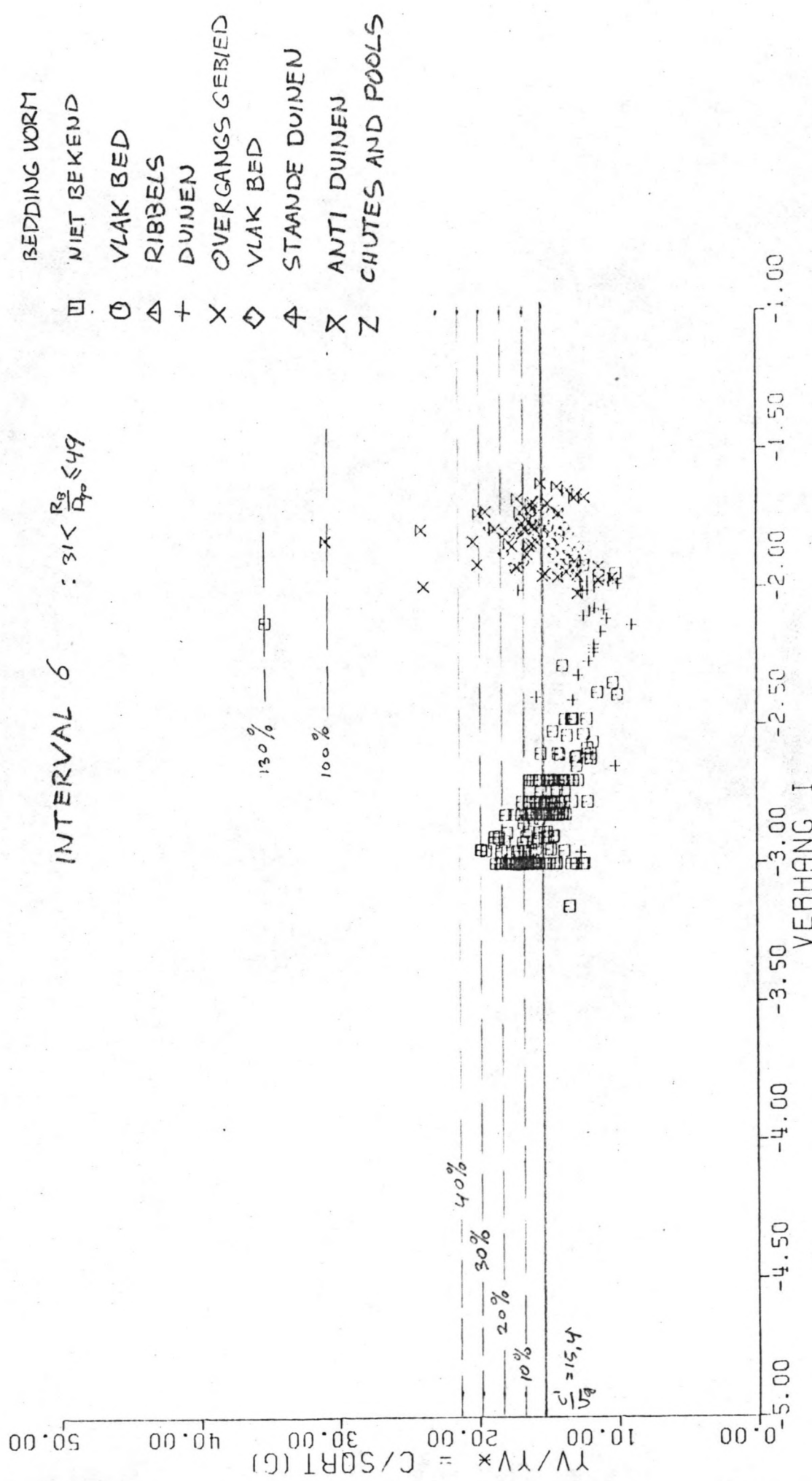


FIG III.6

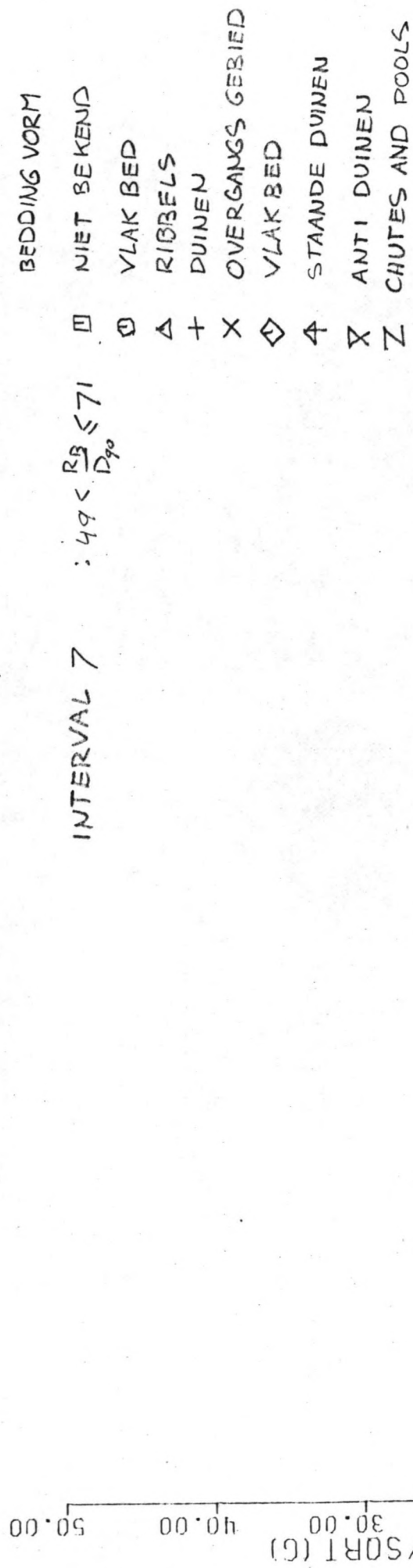


FIG III.7

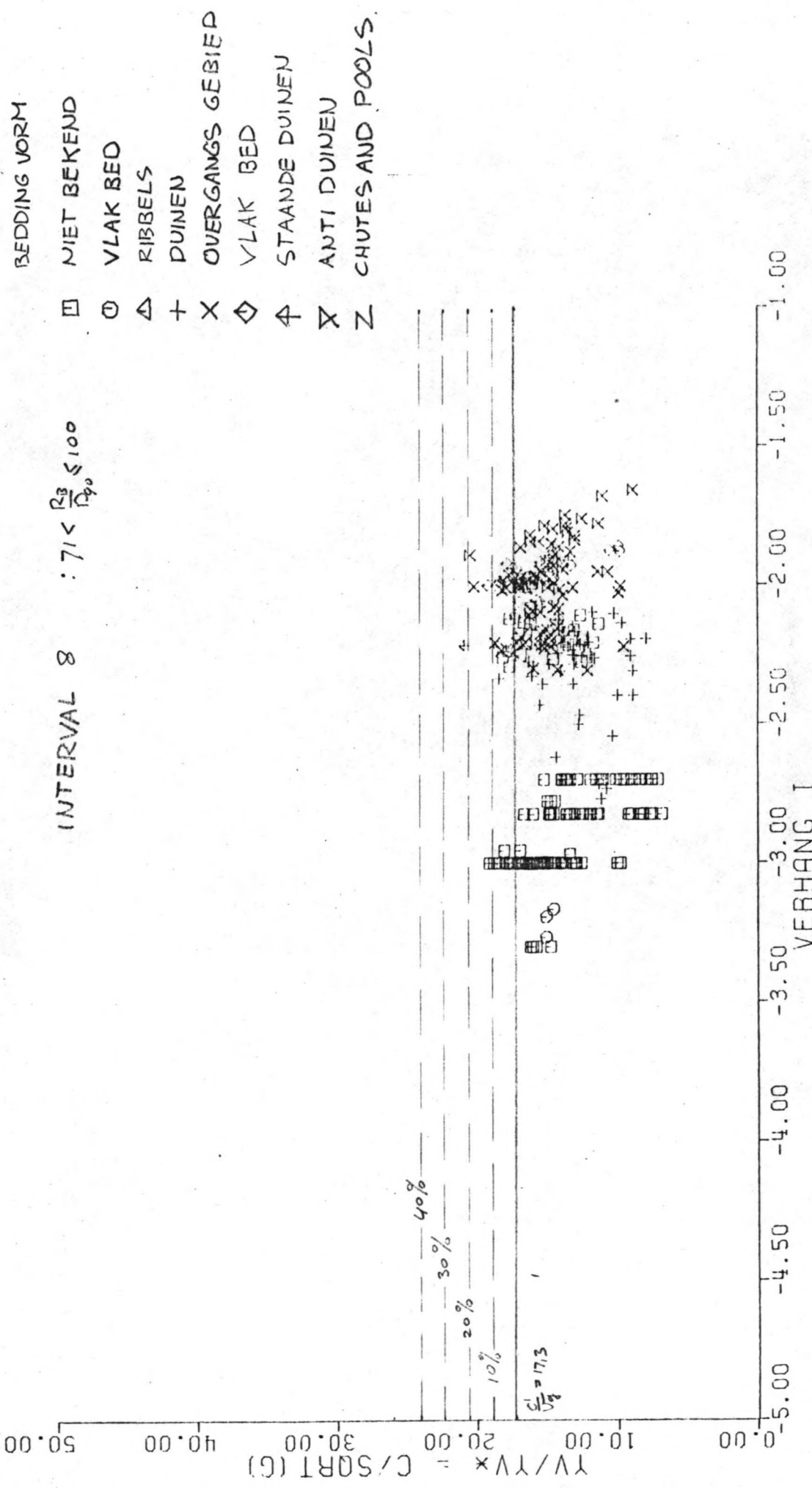


FIG III.8

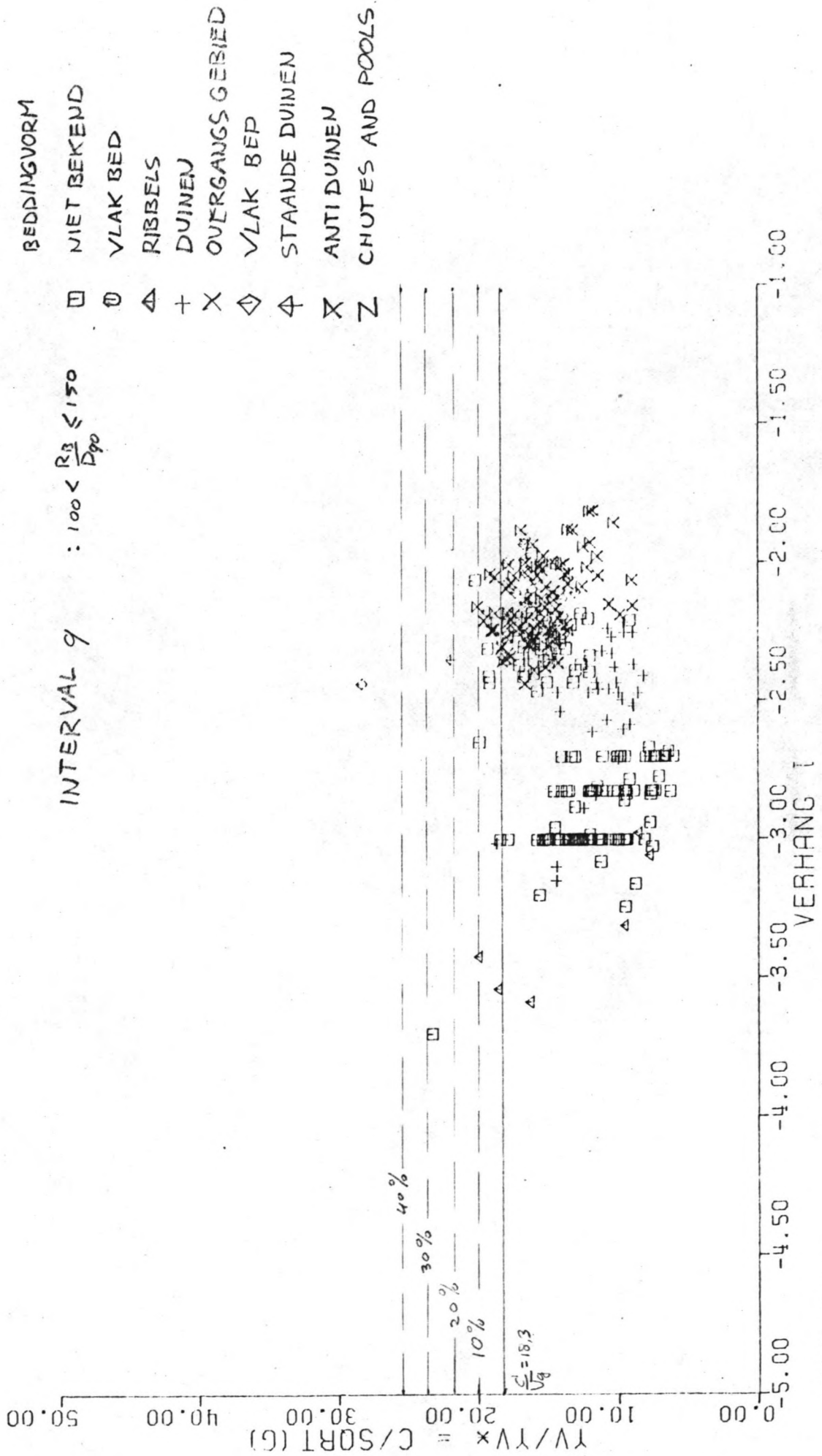
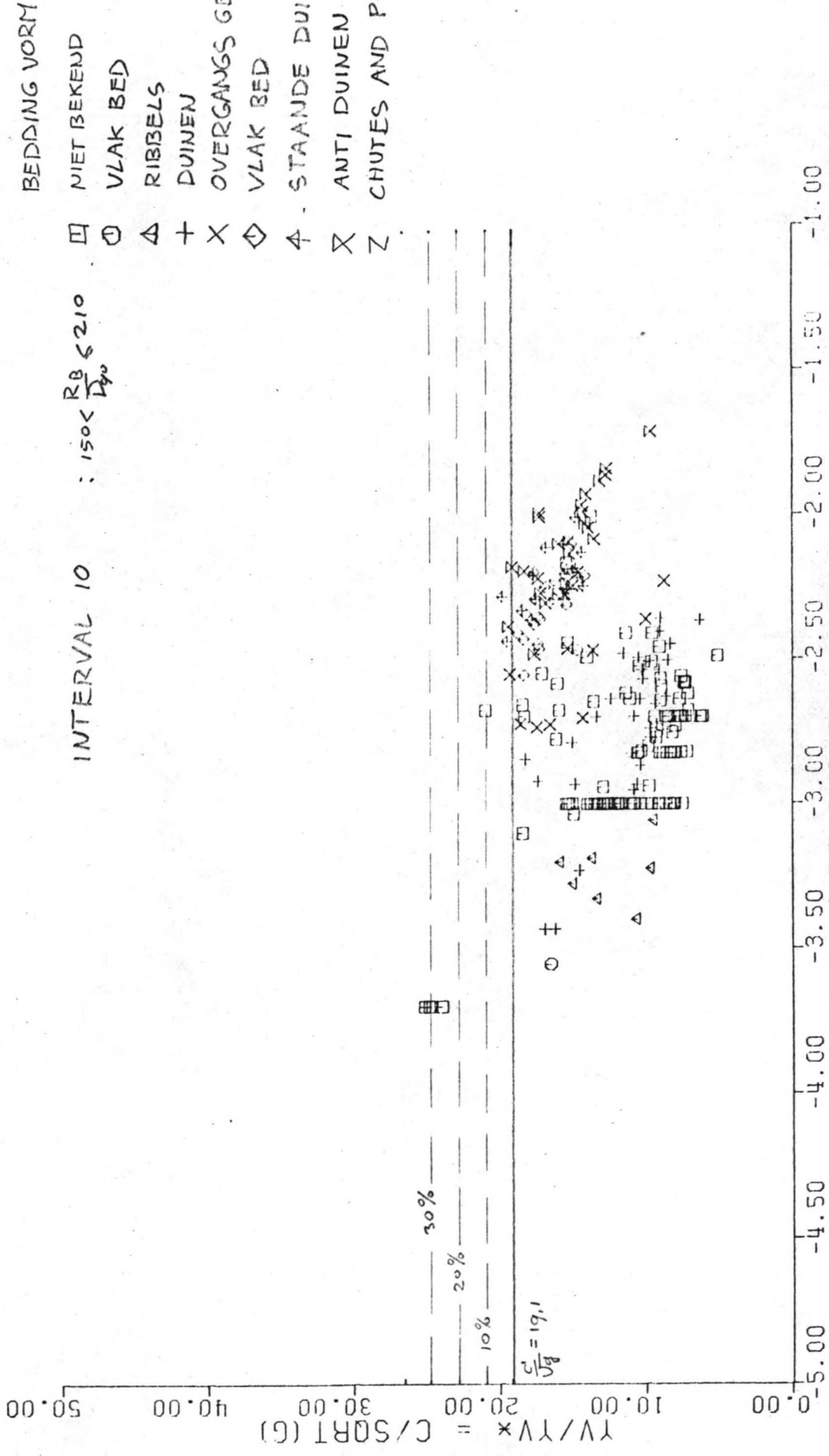


FIG III.9



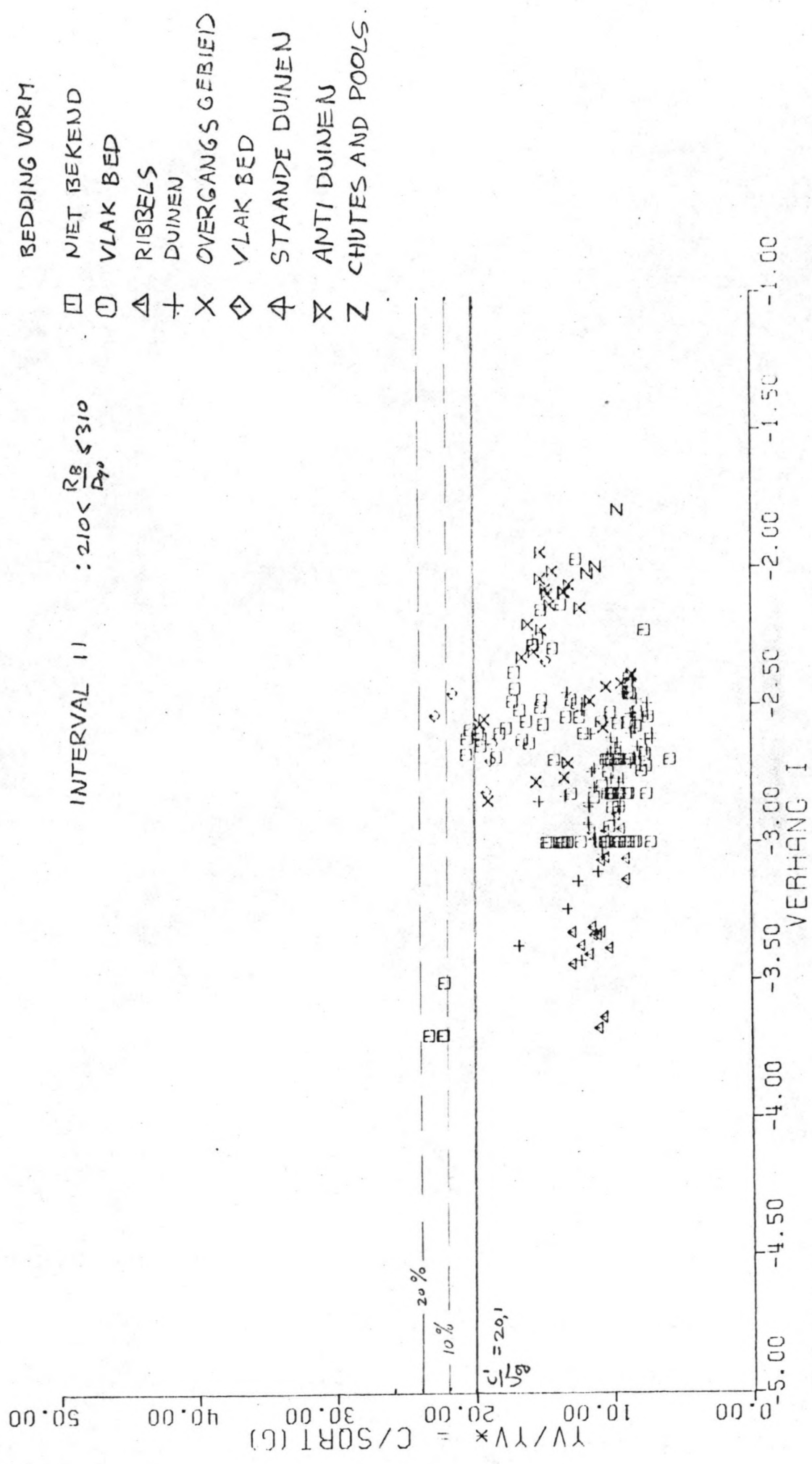


FIG III.11

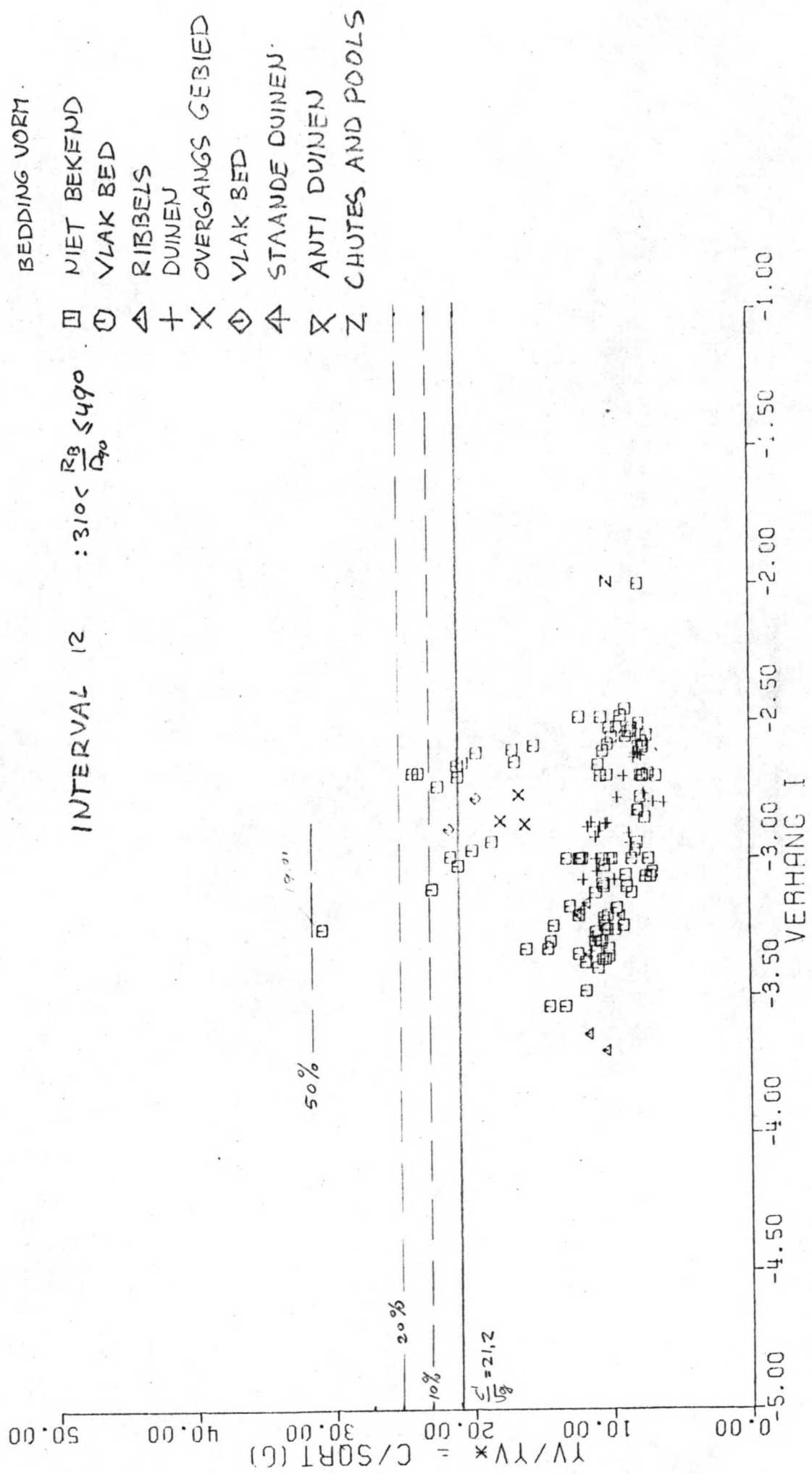


FIG III.12

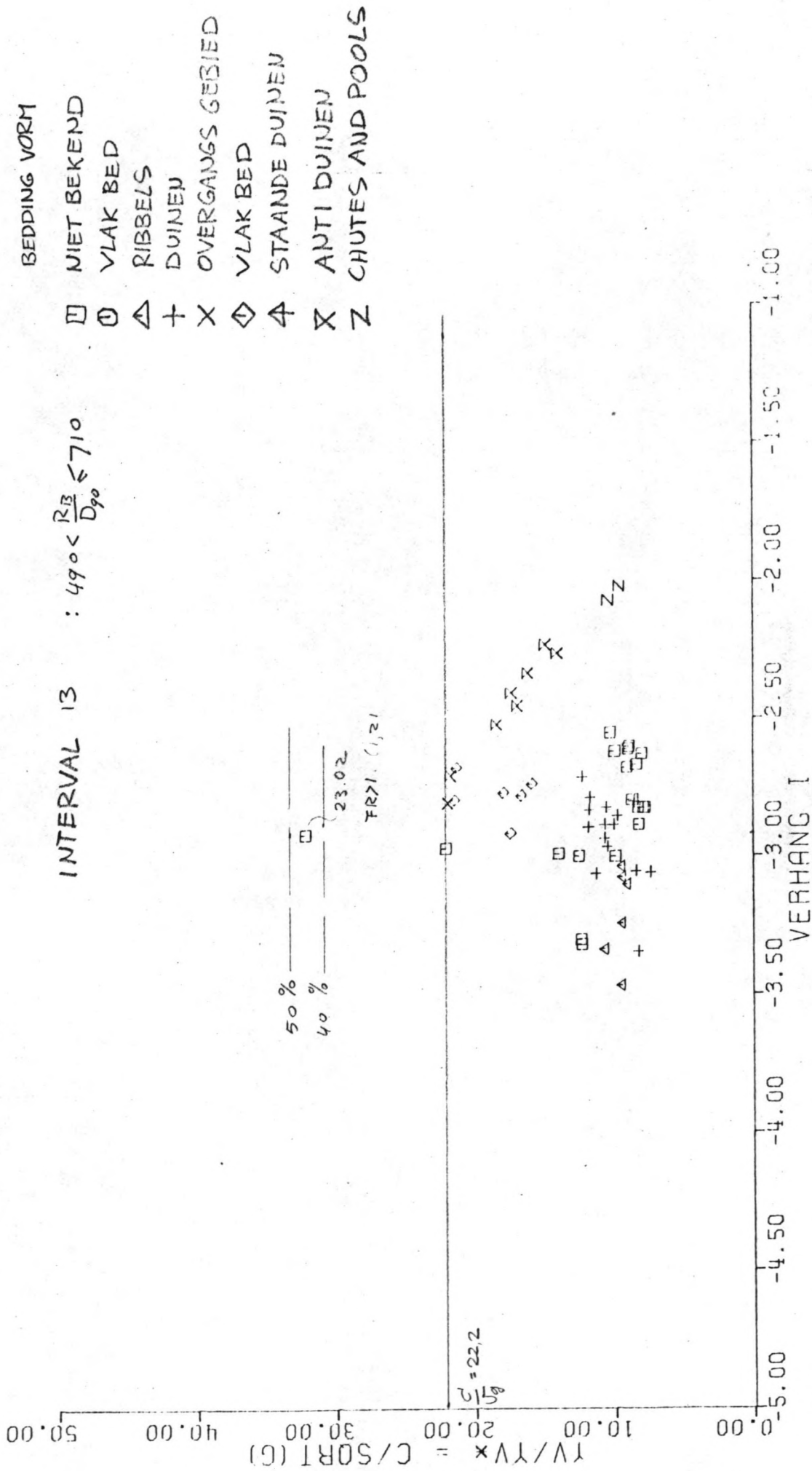


FIG III.13

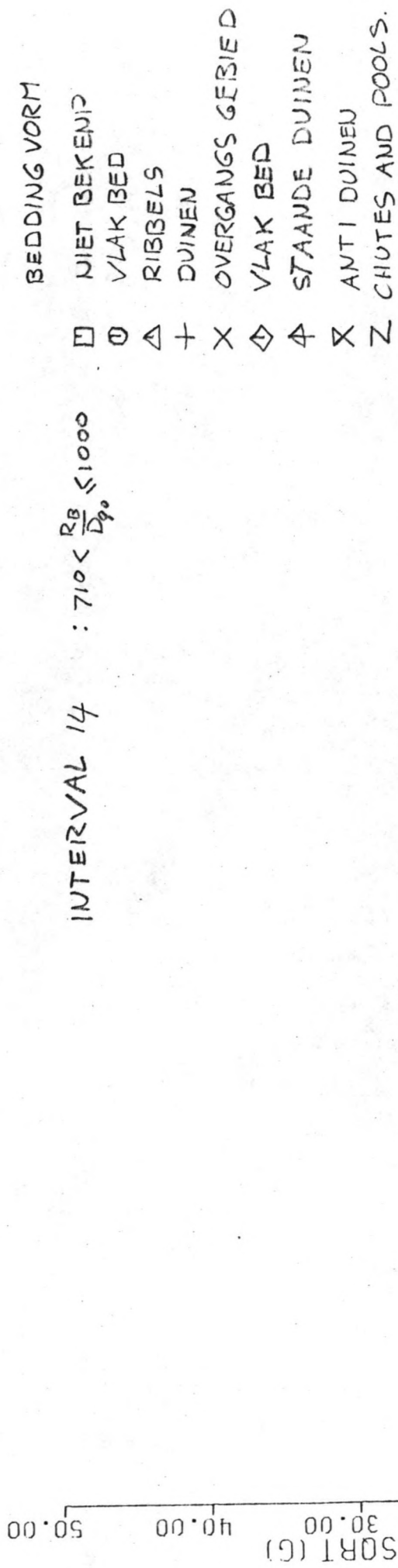


FIG III.14

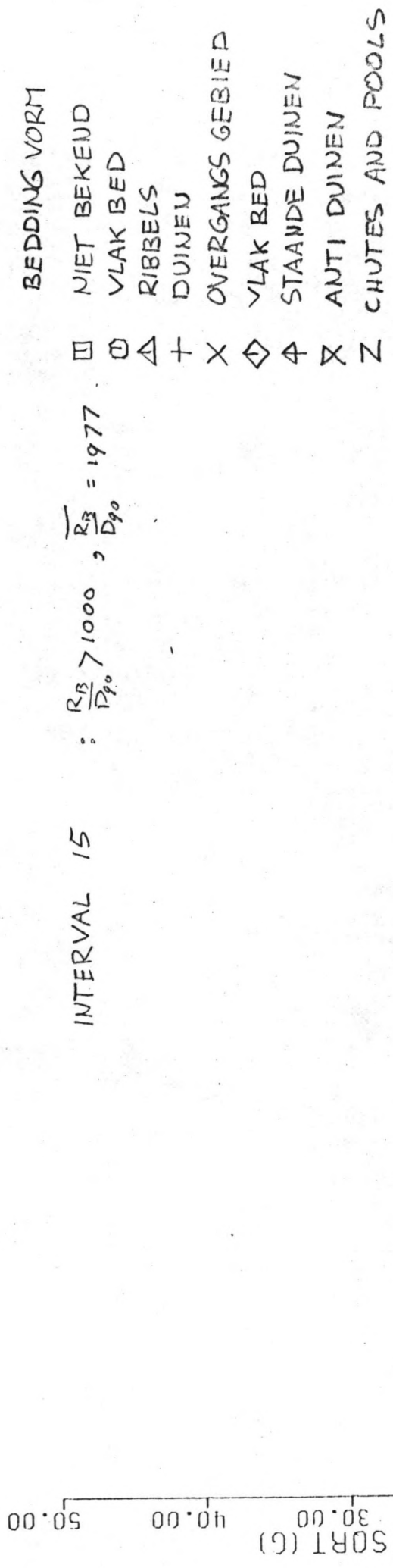


FIG III.15

Fig. 111.16 t/m 111.29 : Relatie tussen I , C/\sqrt{g} en de beddingvorm
voor $R_b = h$.

YV/TVX = C/SORT (G)
 0.00
 10.00
 20.00
 30.00
 40.00
 50.00

BEDDINGVORM:

- MIET BEKEND
- VLAK BED
- RIBBELS
- DUIJEN
- OVERGANGSGEBIED
- VLAK BED
- STAANDE DUIJEN
- ANTI-DUIJEN
- CHUTES AND POOLS

INTERVAL II : $\frac{R_B}{D_{90}} < 7.1, R_B = h.$

$\frac{R_B}{D_{90}} = 1.1 (R_B = 7.1)$

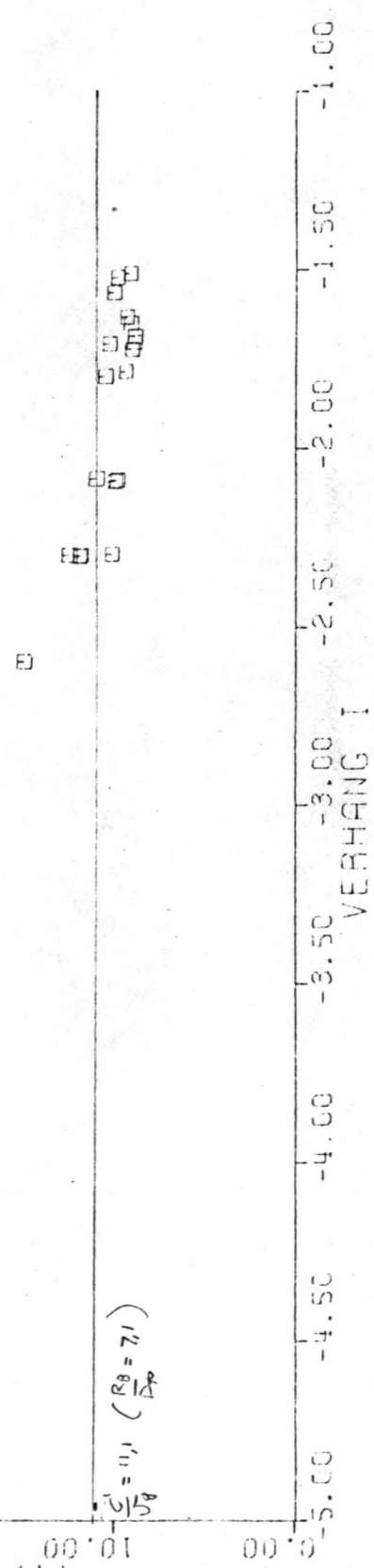


FIG III.16

YV/YV* = C/SQRT(C) 0.00 10.00 20.00 30.00 40.00 50.00

- BEDDINGVORM :
- NIET BEKEND
 - VLAK BED
 - △ RIBBELS
 - + DUINEN
 - x OVERGANGS GEBIED
 - ◇ VLAK BED
 - ♣ STAANDE DUINEN
 - ⊗ ANTIDUINEN
 - Z CHUTES AND POOLS

INTERVAL 2 : $7.1 < \frac{R_B}{P_{90}} < 10, R_B = L$

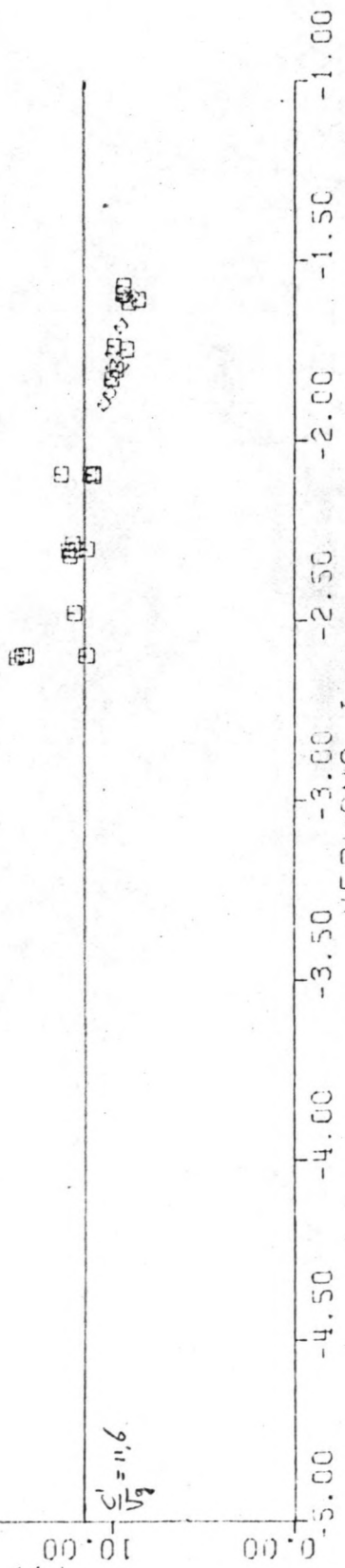


FIG III .17

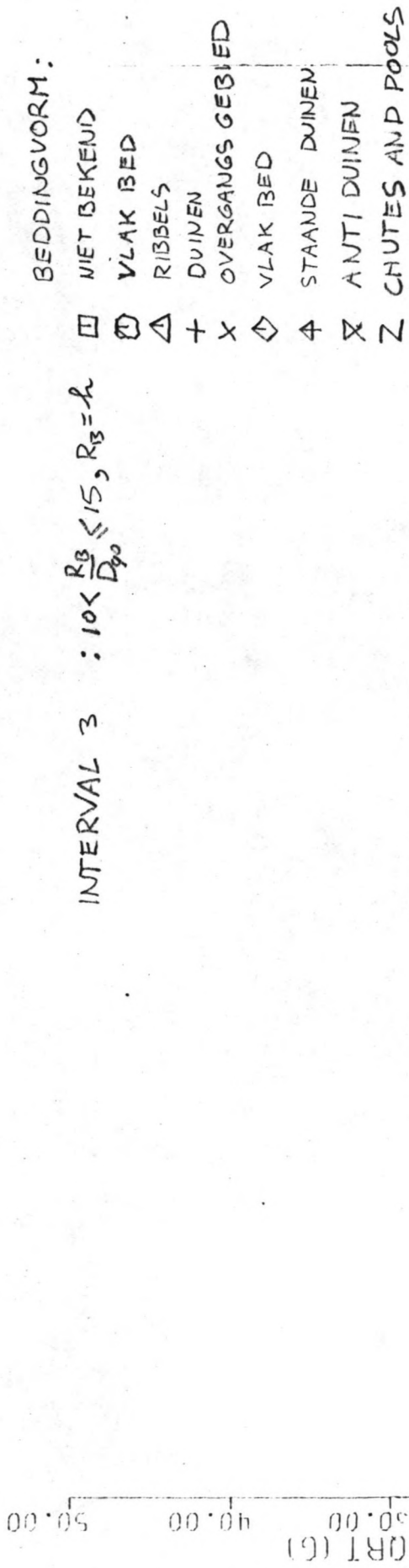
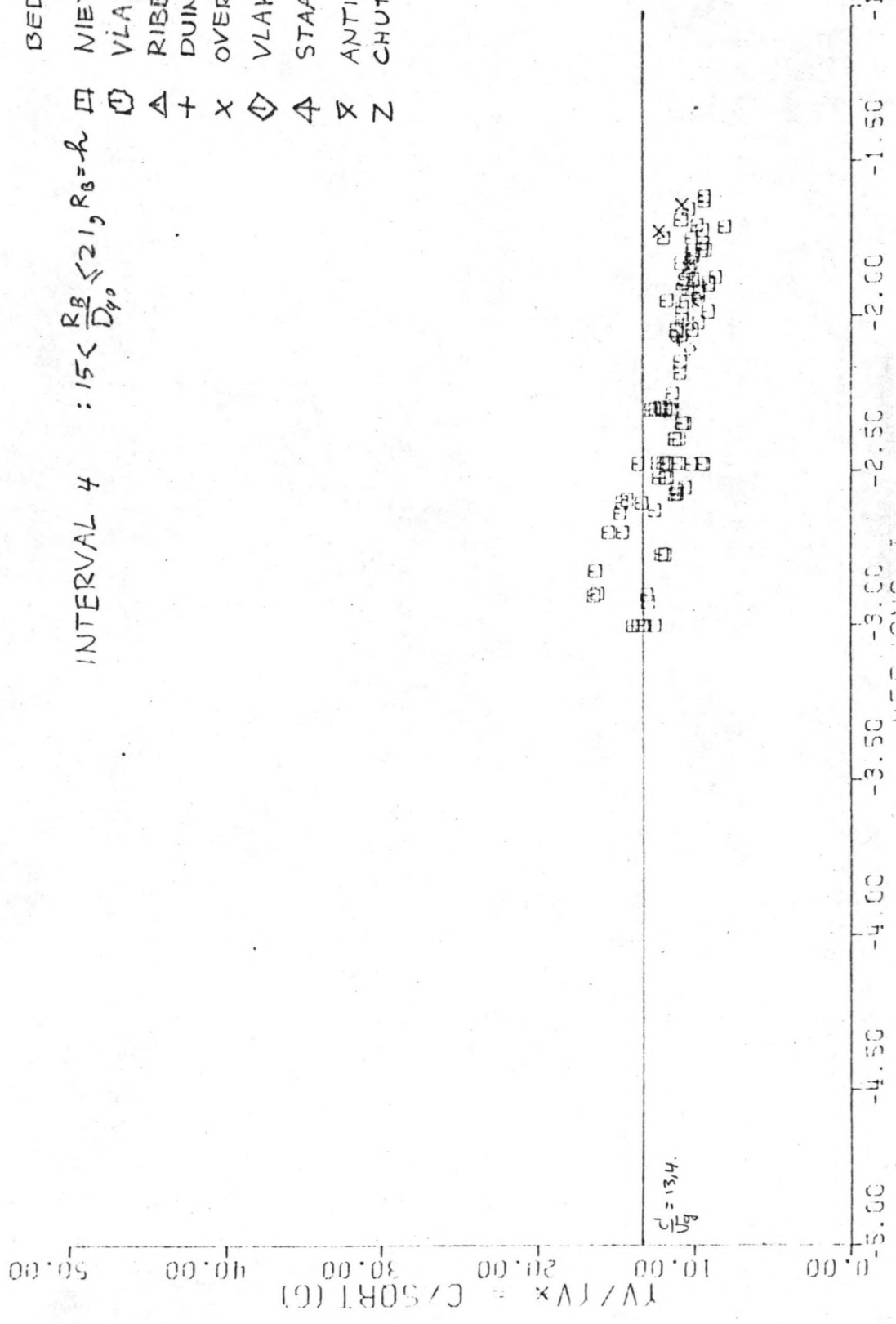


FIG. III -18

BEDDINGVORM:

- MIET BEKEND
- VLAK BED
- RIBBELS
DUINEN
- OVERGANGS GEBIED
- VLAK BED
- STAANDE DUINEN
- ANTI DUINEN
- CHUTES AND POOLS

INTERVAL 4 : $15 < \frac{R_B}{D_{90}} \leq 21, R_B = h$



VERHANG I

FIG. III.19

1 V / T V x = C / SQRT (G)
 0.00 10.00 20.00 30.00 40.00 50.00

BEDDINGVORM:

- MIET BEKEND
- VLAK BED
- RIBBELS
- DUIVEN
- OVERGANGS GEBIED
- VLAK BED
- STAANDE DUIVEN
- ANTIDUIVEN
- Z CHUTES AND POOLS

INTERVAL 5 : $21 < \frac{R_B}{D_{90}} \leq 31, R_B = h$

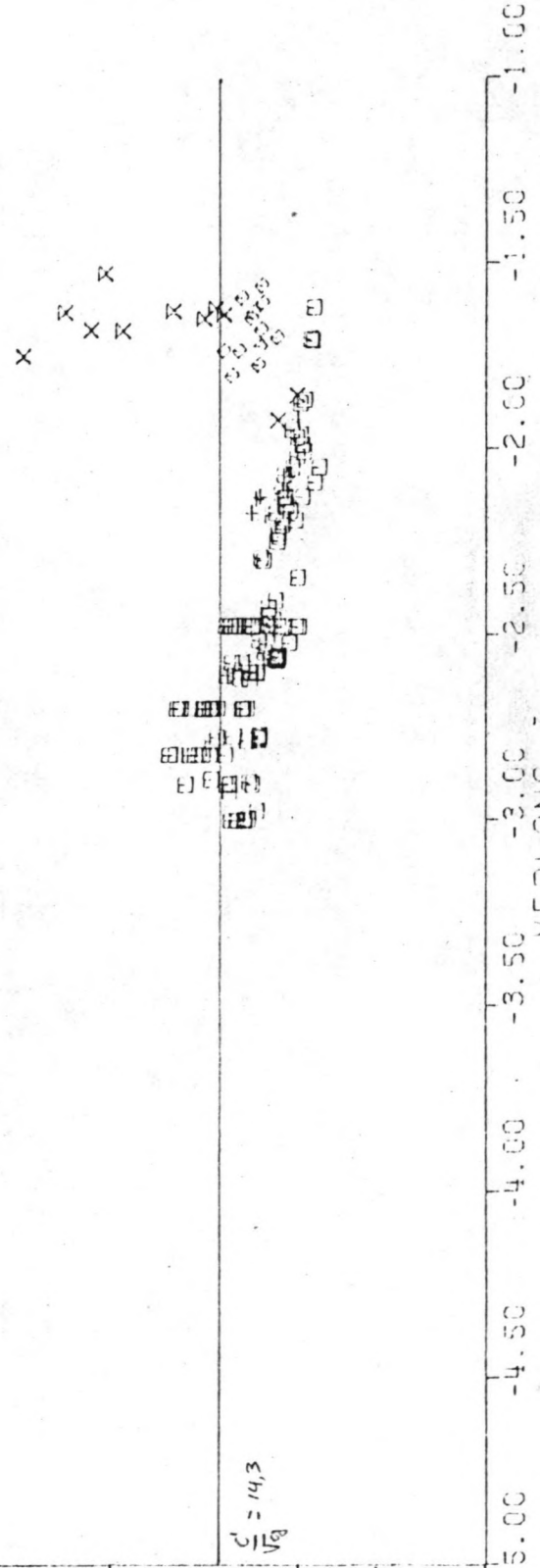


FIG III.20

BEDDINGVORM:

- NIET BEKENP
- VLAK BEP
- △ RIBBELS
- + DUINEN
- x OVERGANGS GEBIED
- ◇ VLAK BED
- ⊣ STAANDE DUINEN
- x ANTIDUINEN
- Z CHUTES AND POOLS

INTERVAL 6 : $31 < \frac{R_B}{D_{90}} \leq 49, R_B = h$

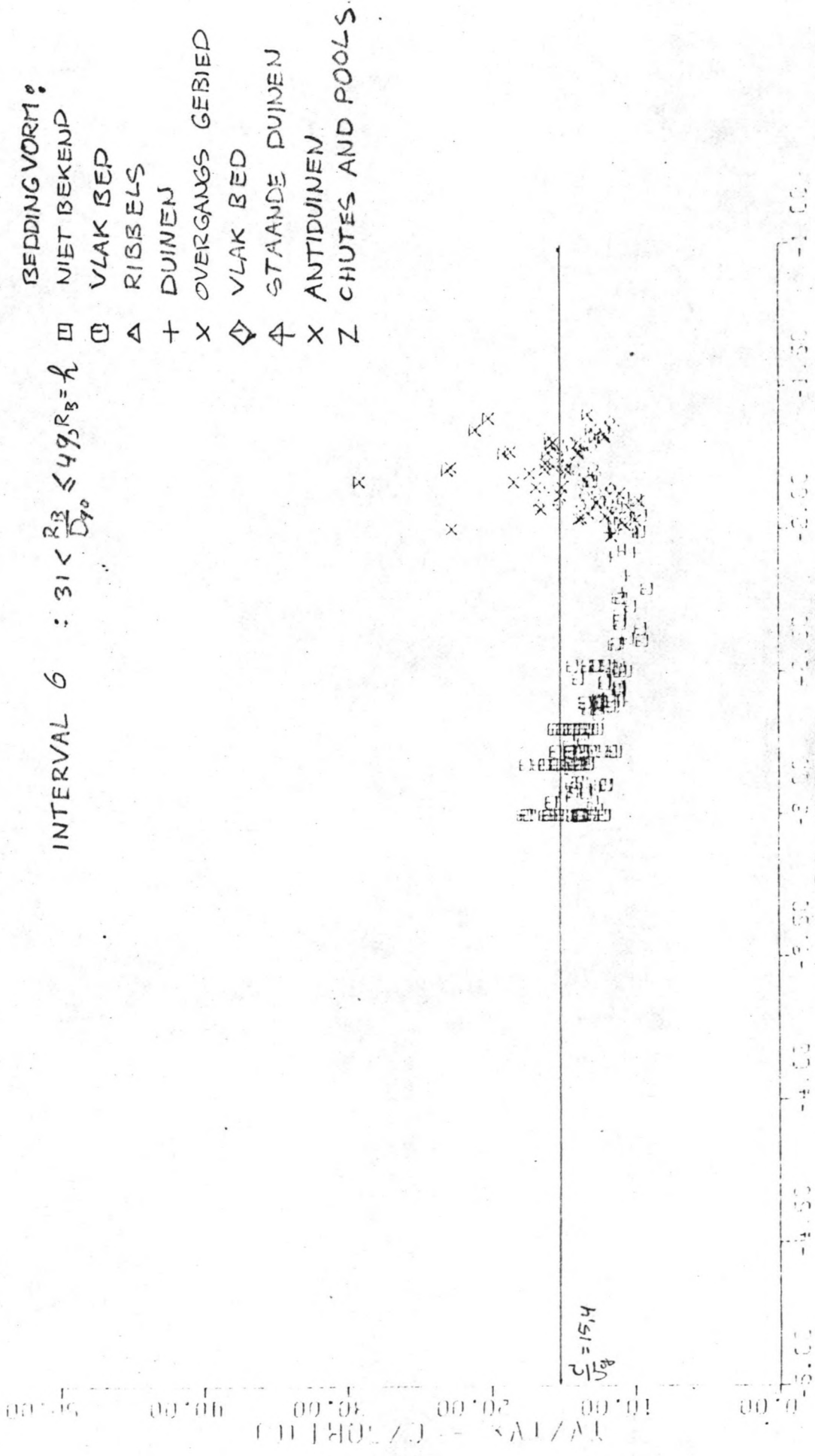


FIG III.21

BEDDINGVORM:

- NIET BEKEND
- ⊖ VLAK BED
- △ RIBBELS
- + DUNEN
- x OVERGANGS GEBIED
- ◇ VLAK BED
- 4 STAANDE DUNEN
- x ANTIDUNEN
- z CHUTES AND POOLS

INTERVAL 7 : $49 < \frac{R_3}{D_{90}} \leq 71, R_3 = R$

50.00

40.00

30.00

20.00

10.00

0.00

1V/1V8 = C/50RT (G)

$h_{91} = \frac{R_1}{2}$

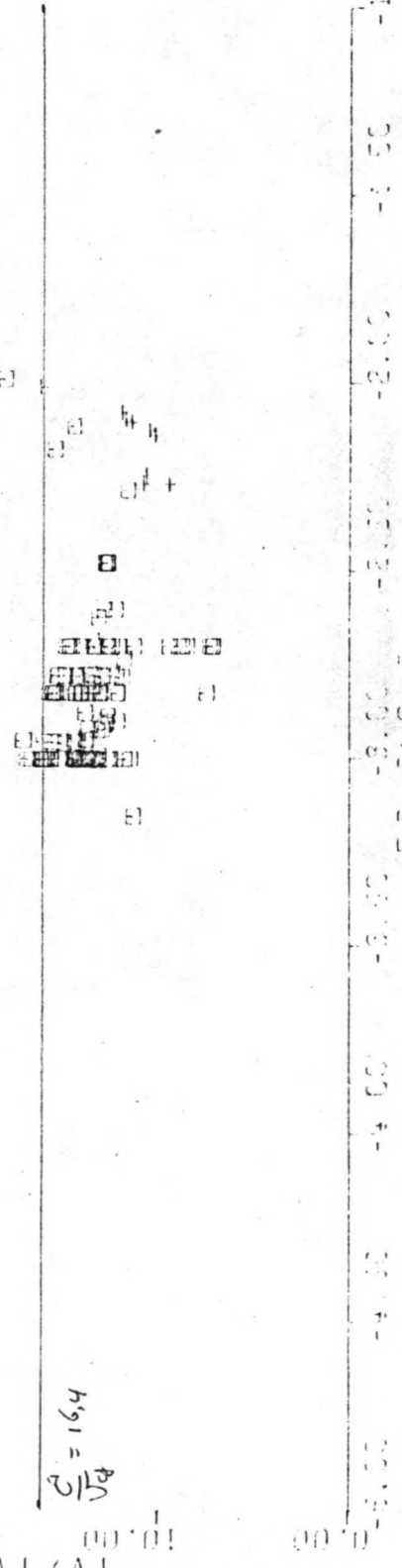


FIG III .22

BEDDINGVORM:

- MIET BEKEND
- VLAK BED
- RIBBELS
- DVINEN
- OVERGANGS GEBIED
- VLAK BED
- STAANDE DVINEN
- ANTI DVINEN
- CHUTES AND POOLS.

INTERVAL : $100 < \frac{R_B}{D_{70}} \leq 150, R_B = d$

INTERVAL

1V/TVX = C/SORTIG
 50.00
 40.00
 30.00
 20.00
 10.00
 0.00

$\frac{C}{S} = 18,3$

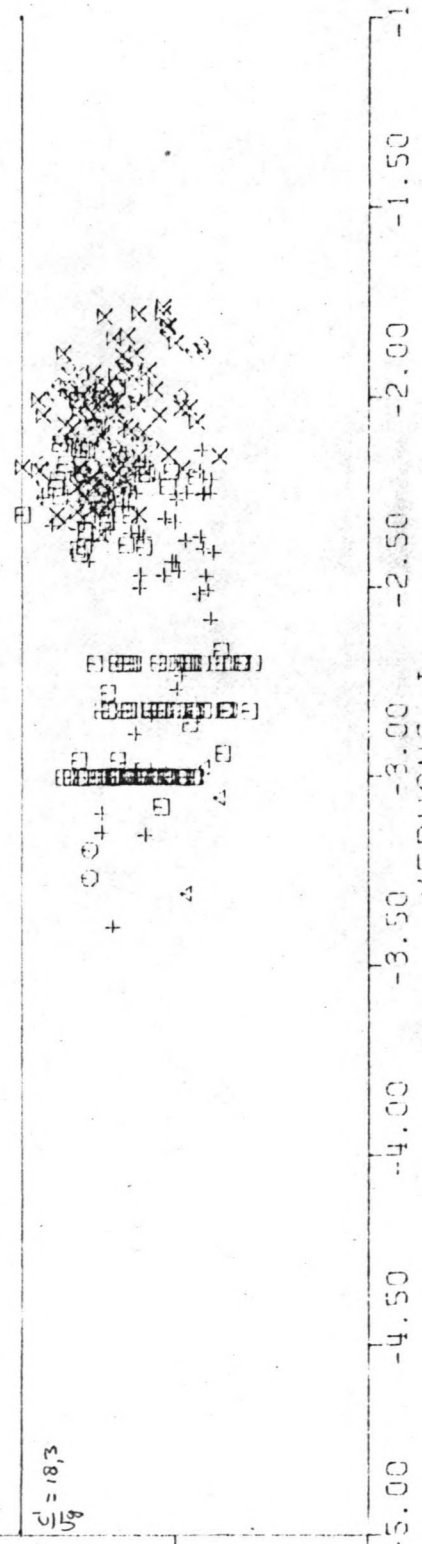


FIG III.23

BEDDINGVORM:

- NIET BEKEND
- VLAK BED
- △ RIBBELS
- + DUINEN
- x OVERGANGS GEBIED
- ◊ VLAK BED
- ↗ STAANDE DUINEN
- x ANTI DUINEN
- Z CHUTES AND POOLS

INTERVAL 10 : $150 < \frac{R_B}{D_{90}} \leq 210, R_B = R$

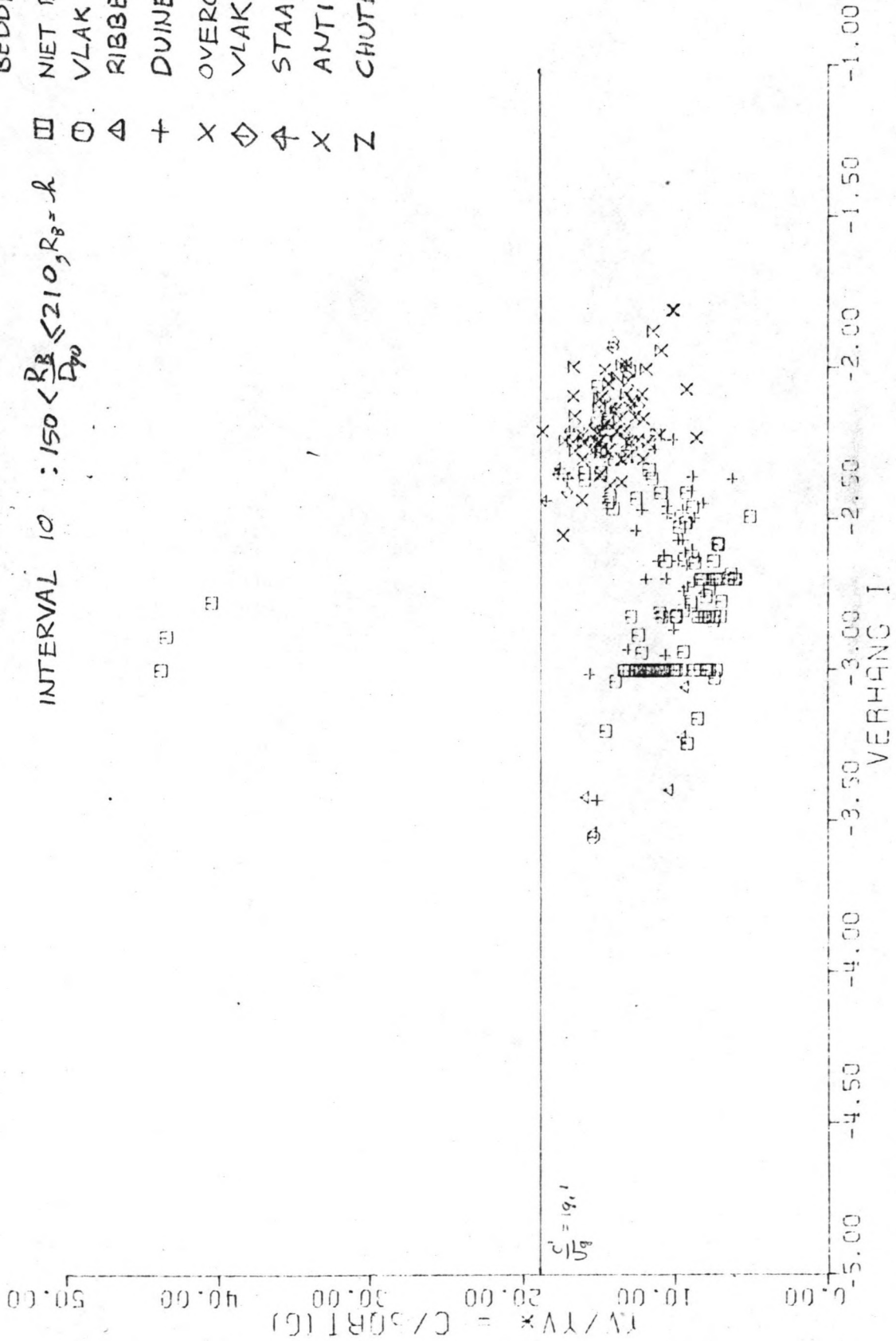


FIG III.24

BEDDING VORM :

- NIET BEKEND
- VLAK BED
- △ RIBBELS
- ⊕ DUINEN
- × OVERGANGS GEBIED
- ◇ VLAK BED
- ⊣ STAANDE DUINEN
- × ANTI DUINEN
- Z CHUTES AND POOLS

INTERVAL II : $210 < \frac{R_B}{D_p} \leq 310, R_B = h$

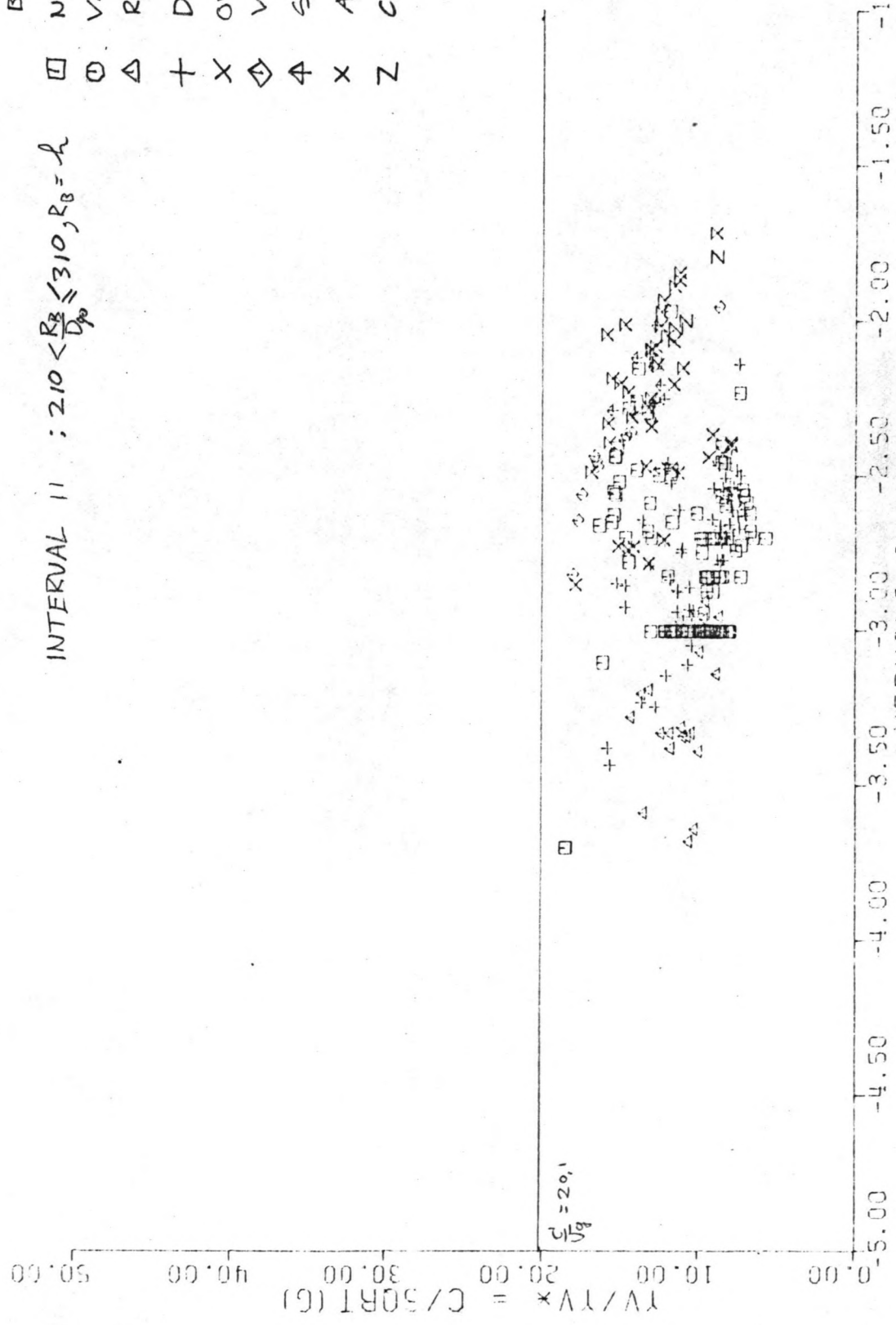


FIG III.25

VERHANG I

BEDDINGVORM :

- NIET BEKEND
- VLAK BED
- △ RIBBELS
- + DUINEN
- X OVERGANGS GEBIED
- ◇ VLAKBED
- ⋈ STAANDE DUINEN
- X ANTIDUINEN
- Z CHUTES AND POOLS

INTERVAL 12 : $310 < \frac{R_B}{D_{90}} \leq 490, R_B = h$

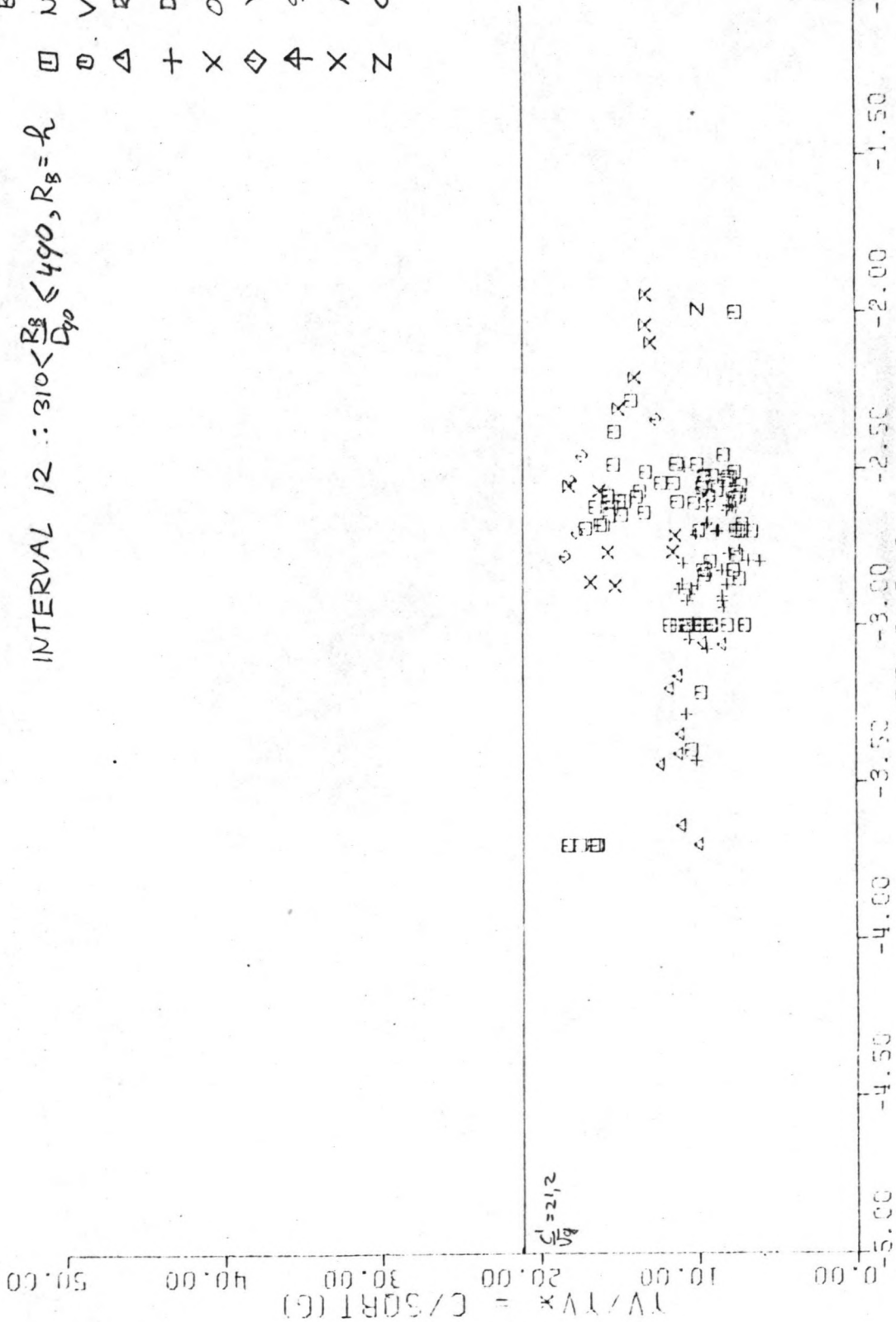


FIG III .26

- BE DINGVORM:
- NIET BEKEND
 - VLAK BED
 - △ RIBBELS
 - + DUINEN
 - x OVERGANGS GEBIED
 - ◇ VLAK BED
 - ∩ STAANDE DUINEN
 - × ANTIDUINEN
 - Z CHUTES AND POOLS

INTERVAL 13 : $490 < \frac{R_B}{D_{90}} \leq 710, R_B = 2$

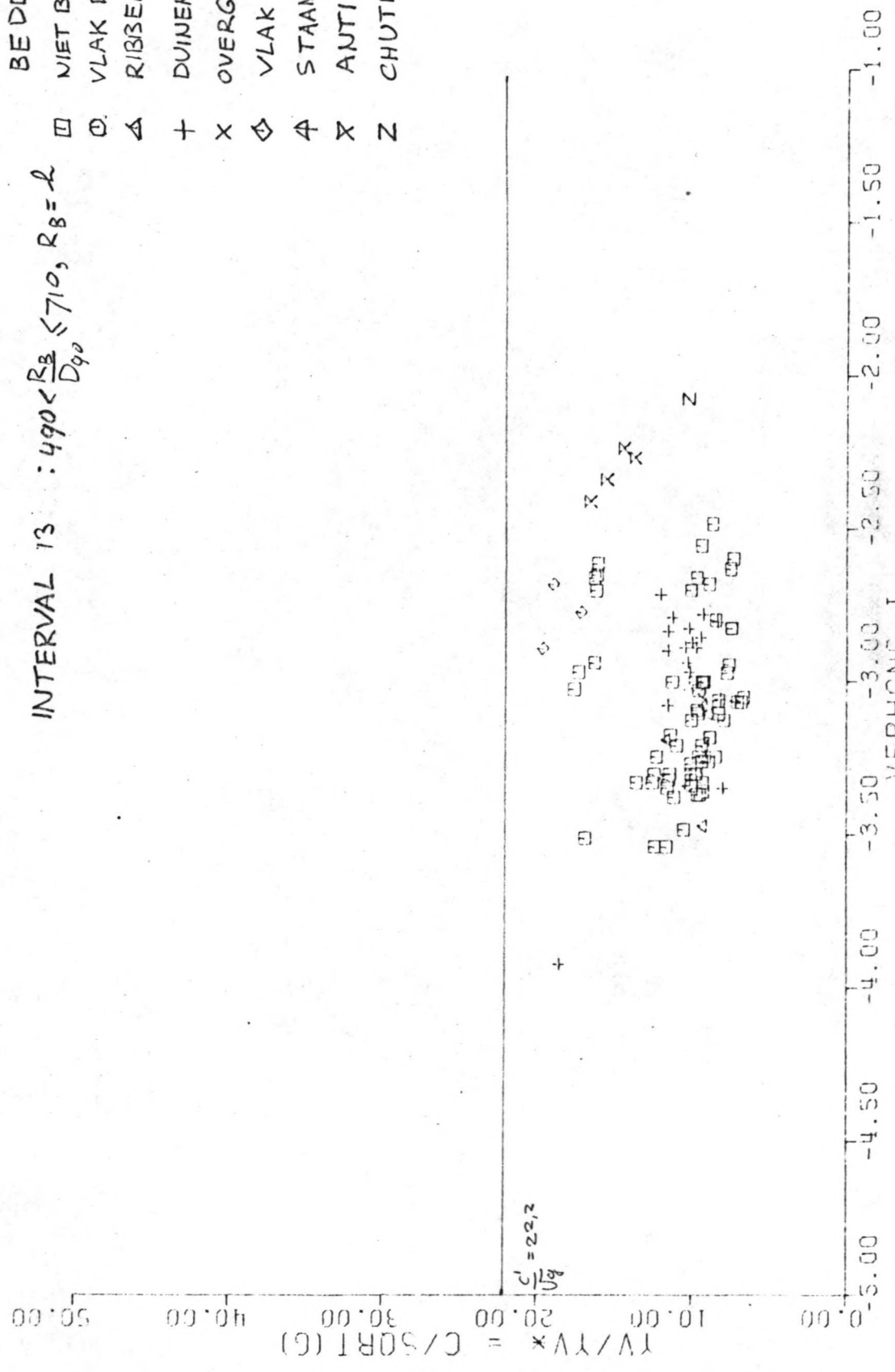


FIG III.27

- BEDDINGVORM;
- NIET BEKEND
 - VLAK BED
 - △ RIBBELS
 - + DUINEN
 - x OVERGANGS GEBIED
 - ◊ VLAK BED
 - ↑ STAANDE DUINEN
 - ⊗ AJTI DUINEN
 - Z CHUTES AND POOLS

INTERVAL 14 : $710 < \frac{RB}{D_{90}} \leq 1000, R_L = h$

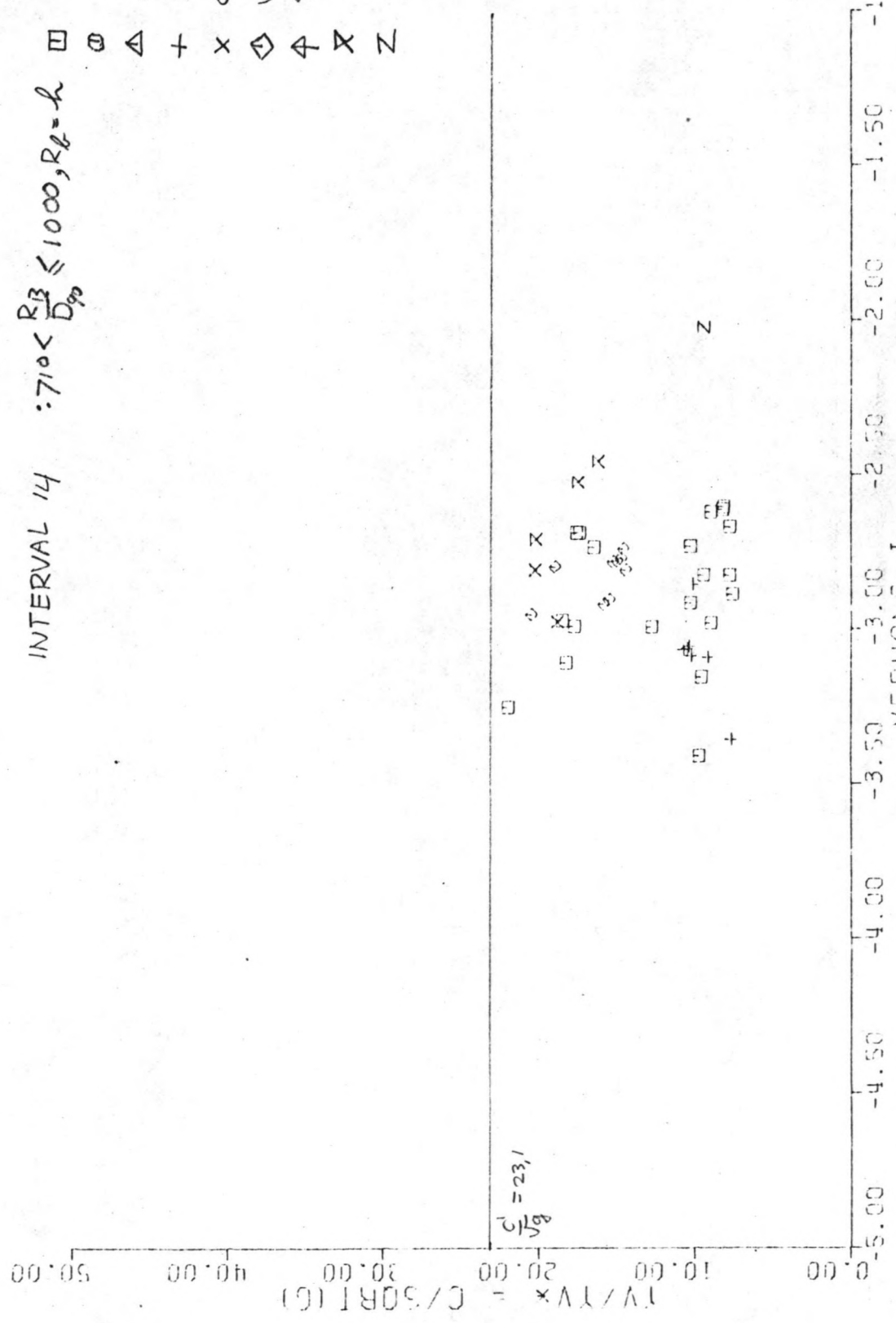


FIG III.28

- BEDDINGVORM:
- NIET BEKEND
 - VLAK BED
 - △ RIBBELS
 - + DUINEN
 - x OVERGANGSGEBIED
 - ◇ VLAK BED
 - ↑ STAANDE DUINEN
 - ⊗ ANTI DUINEN
 - Z CHUTES AND POOLS

INTERVAL 15 :: $\frac{R_B}{D_{90}} > 1000, R_B = h$

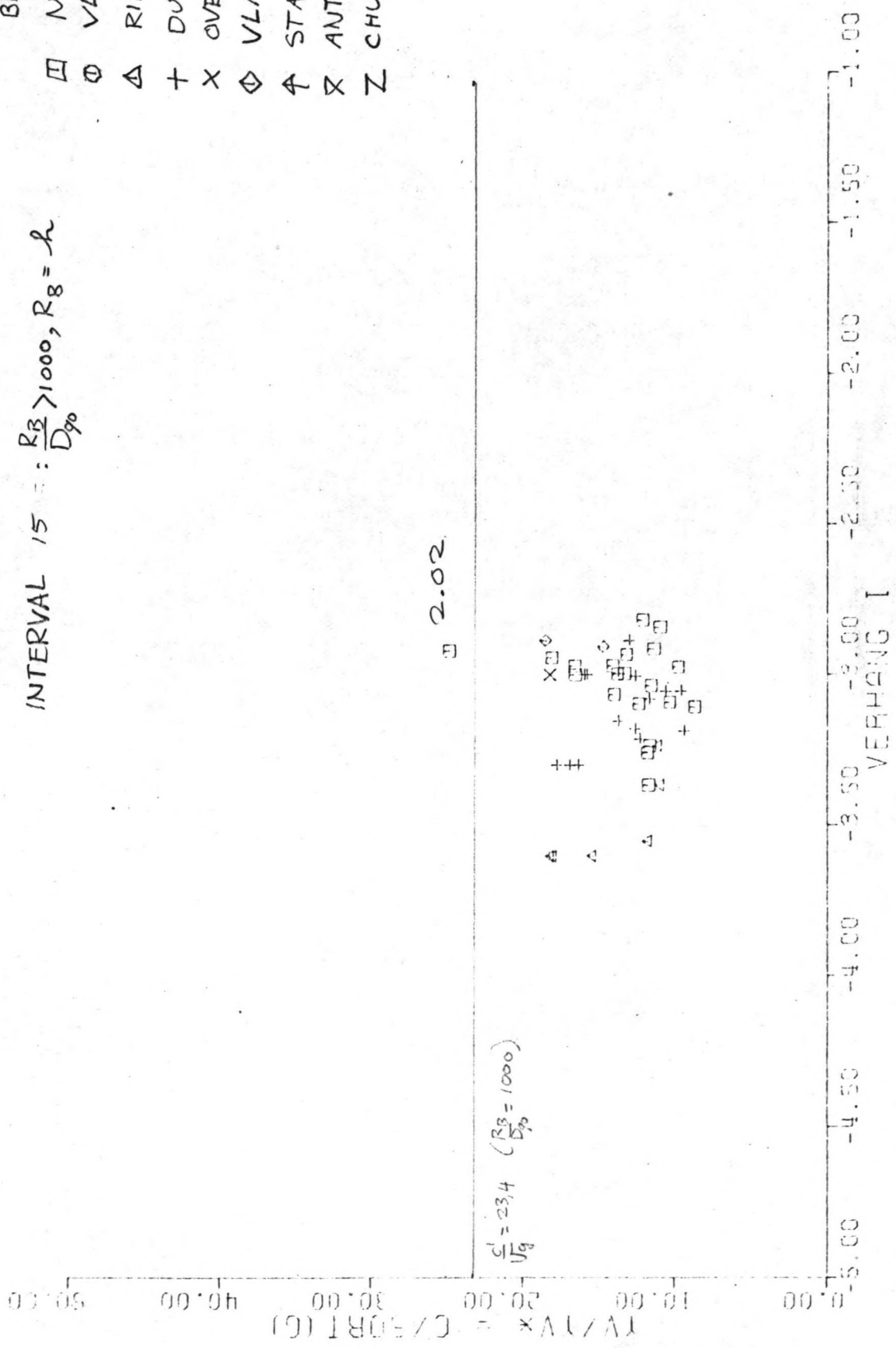


FIG III.29

